

## بررسی تأثیر فعال‌سازی مکانیکی و سرعت گرمایش بر تشکیل کامپوزیت نانوساختار $\text{NiAl-Al}_2\text{O}_3$ به روش سنتز احتراقی

- مریم پیغمبری<sup>۱\*</sup>، علیرضا کیانی روشن<sup>۲</sup>، مهرداد گاشفی توپتی<sup>۳</sup>، جلیل وحدتی خاکی<sup>۴</sup>، استفان یونسون<sup>۵</sup>
- استادیار، گروه متالورژی و سرامیک، دانشکده فنی مهندسی، واحد مشهد، دانشگاه آزاد اسلامی، مشهد، ایران
  - استاد، گروه مهندسی متالورژی و مواد، دانشکده مهندسی، دانشگاه فردوسی مشهد، مشهد، ایران
  - استاد، گروه مهندسی متالورژی و مواد، دانشکده مهندسی، دانشگاه فردوسی مشهد، مشهد، ایران
  - استاد، گروه مهندسی متالورژی و مواد، دانشکده مهندسی، دانشگاه فردوسی مشهد، مشهد، ایران
  - استاد، گروه مهندسی متالورژی و علم مواد، دانشگاه سلطنتی سوئد، استکلهلم، سوئد

\*Beyhaghi@mshdiau.ac.ir

(تاریخ دریافت: ۱۳۹۳/۱۲/۲۵، تاریخ پذیرش: ۱۳۹۴/۰۳/۱۰)

### چکیده

در این مقاله، تأثیر فعال‌سازی مکانیکی و سرعت افزایش دما ( $20$  و  $40^\circ\text{C}/\text{min}$ ) بر رخداد واکنش‌ها در فرآیند سنتز کامپوزیت نانوساختار  $\text{NiAl}/\text{Al}_2\text{O}_3$  از محلول پودری  $\text{NiO}$  و  $\text{Al}$  در گرمایش از  $20$  تا  $1300^\circ\text{C}$  مورد بررسی قرار گرفت. برای بررسی واکنش‌های رخ دهنده در نمونه‌ها، آنالیز دیفرانسیل حرارتی، پراش سنجی اشعه ایکس و میکروسکوپی الکترونی روبشی انجام شد. در گرمایش نمونه‌های پودری بدون فعال‌سازی، واکنش گرمایز احیای  $\text{NiO}$  با  $\text{Al}$  و تشکیل فازهای  $\text{Ni}-\text{Al}$  در حضور آلمینیم مذاب رخ داد، درحالی که در اثر فعال‌سازی مکانیکی این واکنش‌ها در حالت جامد و در دمای پایین تر و به صورت مجزا از هم اتفاق افتاد. با کاهش سرعت گرمایش، واکنش‌ها در دمای پایین تر و به صورت تغکیک شده انجام شد. مکانیزم پیشنهادی برای رخداد واکنش‌ها در حین گرمایش پودر فعال‌سازی مکانیکی شده مطرح شد.

### واژه‌های کلیدی:

کامپوزیت، مواد نانوساختار، سنتز احتراقی،  $\text{Al}_2\text{O}_3/\text{NiAl}$ ، فعال‌سازی مکانیکی.

### ۱- مقدمه

آلومینیم، ترکیب  $\text{NiAl}$  دارای ویژگی‌های منحصر به فردی از جمله دمای ذوب بالا، دانسته پایین، هدایت حرارتی بالا، مقاومت به خوردگی و اکسیداسیون بالا است. علی‌رغم امتیازات قابل مشاهده است [۱]. در میان ترکیبات بین فلزی نیکل و

ترکیبات بین فلزی بین نیکل و آلومینیم ویژگی‌های قابل توجهی برای کاربردهای مواد نو دارند. سیستم دوتایی نیکل-آلومینیم شامل پنج فاز بین فلزی منظم است که دیاگرام فازی آن در شکل ۱ قابل مشاهده است [۱]. در میان ترکیبات بین فلزی نیکل و

معمول دارای امتیازات قابل توجهی است از جمله: خلوص بالای محصول، امکان تولید قطعات با هزینه نسبتاً پایین و امکان تولید پودرهای شدیداً ریز و زینترپذیری آسان محصولات، سنتر کامپوزیت‌های محلول جامد یا ترکیبات کمپلکس فازهای اکسیدی به صورت همگن، سنتر و انجماد مواد غیرآلی در یک مرحله با استفاده از انرژی‌های شیمیایی واکنش دهنده‌ها، سنتر درجای ماتریس و تقویت کننده کامپوزیت [۱۵].

آسیاکاری مکانیکی روشی است که پژوهشگران برای رخداد واکنش‌های سنتر احتراقی از آن به دو صورت بهره می‌برند: (۱) واکنش‌های سنتر احتراقی که از آسیاکاری در داخل ظرف آسیا و پس از رسیدن پودرها به شرایط بحرانی مدنظر رخ می‌دهد<sup>۱</sup> که به آن آلیاژسازی مکانیکی نیز گفته می‌شود، (۲) واکنش‌های سنتر احتراقی که پس از انجام یک فرآیند آسیاکاری با انرژی بالای کوتاه‌مدت، بطور جداگانه رخ می‌دهد<sup>۲</sup>، این واکنش‌ها پس از مرحله آسیاکاری نیاز به یک مرحله گرمایش دارد. در مردم دوم، از انرژی مکانیکی برای فعال‌سازی فرآیند سنتر احتراقی استفاده می‌شود و به این واکنش‌ها «واکنش‌های سنتر احتراقی فعال شده با انرژی مکانیکی» گفته می‌شود. فعال‌سازی مکانیکی پودرها در آسیاها توسط عمل برش و یا ضربه گلوله‌های پرسخت به پودر اتفاق می‌افتد [۱۶]. اخیراً، ترکیب فعال‌سازی مکانیکی با آسیاکاری گلوله‌ای پر انرژی و فعال‌سازی حرارتی واکنش‌های شیمیایی مثلاً احیای آلومینوترمیک برای تولید کامپوزیت‌های پایه فلزی و بین فلزی درجا کاربردهای احتمالی هر دو روش را گسترش داده است.

پژوهشگران موفق شده‌اند به کامپوزیت  $\text{NiAl-Al}_2\text{O}_3$  با سنتر احتراقی دست پیدا کنند. انوری و همکارانش این کامپوزیت را به صورت درجا در طی یک فرآیند آسیاکاری پر انرژی در یک آسیای سیاره‌ای و بدون استفاده از عملیات حرارتی بعدی سنتر کردند [۱۷]. Oleszak نیز با آسیاکاری  $\text{NiO}$  و  $\text{Al}$ ، تشکیل  $\text{NiAl}$  و  $\text{Al}_2\text{O}_3$  را مشاهده کرد و برای تراکم پودر از روش متراکم سازی انفحاری و پرس داغ استفاده کرد [۱۸]. Lin و همکارانش نیز با آسیاکاری پر انرژی مخلوط نیکل، آلمینیم و

پایین در دمای اتفاق، مقاومت خزشی و استحکام دما بالای کم کاربرد آن را برای مصارف سازه‌ای محدود می‌سازد [۲]. از آنجا که چکش‌پذیری به طور قابل توجهی با ریزدانه شدن ماده بهبود می‌یابد [۳]، تلاش‌هایی برای دستیابی به  $\text{NiAl}$  نانوساختار صورت گرفته است. استفاده از تقویت کننده‌ها و ساخت مواد کامپوزیتی، روش مناسبی برای بهبود مقاومت خزشی و استحکام دما بالا و در عین حال ارتقا خواص مکانیکی در دماهای پایین است [۴-۵]. پژوهشگران استفاده از تقویت کننده‌هایی از جمله:  $\text{TaB}$  [۶]  $\text{TiC}$  [۷]  $\text{ZrB}_2$  [۸]  $\text{TiB}_2$  [۹]  $\text{ZrO}_2$  [۱۰] و ... را برای ماتریس  $\text{NiAl}$  گزارش کرده‌اند. موفقیت در ساخت کامپوزیت‌های با زمینه بین‌فلزی تا درجه زیادی به دسترسی به تقویت کننده‌ها مناسب بستگی دارد. به طور کلی، تقویت کننده‌ها باید از نظر ترمودینامیکی با زمینه بین‌فلزی سازگار باشند و ضریب انبساط حرارتی نزدیکی به زمینه داشته باشند. در صورت عدم سازگاری ترمودینامیکی، بین اجزای کامپوزیت در زمان ساخت یا در دماهای کاری واکنش رخ می‌دهد. در صورت عدم انطباق بین ضرایب انبساط حرارتی، چرخه‌های گرمایی موجب ذخیره شدن تنش در نمونه کامپوزیتی می‌شوند [۱۱-۱۲].

آلومینا، در شکل تک کریستال یا پلی کریستال، به عنوان یک تقویت کننده مناسب برای مونوآلومیناید نیکل به شمار می‌رود چرا که هر دو شرط سازگاری ترمودینامیکی و نزدیکی ضرایب انبساط حرارتی را دارد. به علاوه، آلمینا درای ویژگی‌های شایان توجهی مانند دانسته پایین، استحکام ویژه بالا، مدول الاستیک بالا و مقاومت به اکسیداسیون مطلوب است [۱۲]. با استفاده از روش‌های تولید درجای تقویت کننده در کامپوزیت می‌توان به امتیازاتی از جمله فصل مشترک تیزی با ماتریس، پایداری ترمودینامیکی و پراکنده‌گی یکنواخت دست پیدا کرد [۱۴].

بهره‌گیری از روش‌های نوین به عنوان جایگزین برای روش‌های مرسوم و قدیمی ساخت کامپوزیت‌های با پایه آلمیناید نیکل ضروری به نظر می‌رسد. روش سنتر احتراقی نسبت به روش‌های

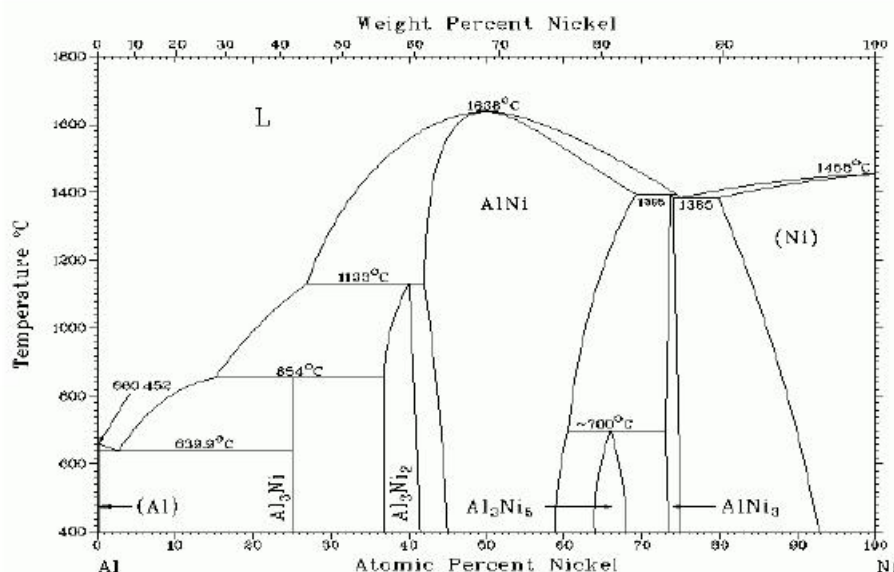
انجام شد [۲۰].

با این وجود، نویسنده‌گان پژوهشی در رابطه با بررسی تأثیر فعال سازی مکانیکی سیستم Al-NiO-Ni-Al<sub>2</sub>O<sub>3</sub> در سنتر NiAl در حین فرآیند گرمایش مخلوط پودری و مکانیزم واکنش‌های رخدنه نیافتدند.

در این پژوهش، تأثیر فعال سازی مکانیکی و نیز سرعت افزایش دما بر رخداد واکنش‌ها در سنتر درجای کامپوزیت نانو ساختار NiAl-Al<sub>2</sub>O<sub>3</sub> از مخلوط پودری نیکل، اکسید نیکل و آلمینیم با افزایش دما از ۲۰ تا ۱۳۰۰ درجه سانتی‌گراد مورد بررسی قرار می‌گیرد. در نهایت، با توجه به نتایج آنالیز فازی و ریزساختاری در دماهای مختلف، مکانیزمی برای رخداد واکنش‌ها در حین گرمایش برای پودر فعال سازی مکانیکی شده به مدت یک ساعت پیشنهاد می‌گردد.

افزودن مقادیر مختلف آلمینیم، کامپوزیت‌های (NiAl)<sub>x</sub>(Al<sub>2</sub>O<sub>3</sub>)<sub>100-x</sub> را با x های برابر ۷۹، ۶۶ و ۴۹ را تولید کردند [۱۹]. در پژوهش‌های مذکور سنتر با روش آلیاژسازی مکانیکی صورت گرفت.

Zhu و همکارانش با بهره گیری از واکنش ترمیت در مخلوط پودری حاوی اکسید نیکل و آلمینیم سنتر واکنشی کامپوزیت NiAl-Al<sub>2</sub>O<sub>3</sub> را با فرآیند پرس داغ بررسی کردند [۱۲]. Udhayabhanu و همکارانش نمونه پودری را که در آن پس از ۲۰ ساعت آسیاکاری تر، واکنش تشکیل آلمیناید نیکل رخ داده و مشکل از اکسید نیکل اجتنده و آلمیناید نیکل بود تحت عملیات حرارتی قرار دادند، به عبارتی دیگر واکنش در محفظه آسیا به صورت ناقص رخ داده بود. بررسی مکانیزم واکنش‌ها در حین گرمایش با توجه به این که باید ادامه فرآیند احیای اکسید نیکل توسط آلمیناید نیکل صورت می‌گرفت



شکل (۱): دیاگرام فازی دوتایی نیکل و آلمینیم [۱]

و اکسید نیکل (MERCK- art No. 6723)

اختلاط مواد اولیه بر اساس ترکیب استوکیومتری مطابق واکنش (۱) صورت گرفت.



(۱)

## ۲- مواد و روش تحقیق

### ۲-۱- مواد اولیه

مواد اولیه مورد استفاده در این پژوهه عبارتند از: نیکل

(MERCK- art No.12277) آلمینیم (MERCK- art No.12277)

در نرم افزار Origin صورت گرفت. جهت مشاهده ریز ساختار و بررسی ترکیب شیمیایی فازهای مختلف در ریزساختار از میکروسکوپ الکترونی روبشی SEM به مدل 1530 LEO مجهز به اسپکترومتر تفکیک ارزی EDS استفاده شد. برای بررسی دقیق‌تر ریزساختار در سطح مقطع ذرات پودر، ذرات پودر در پلیمر رسانا مانع شده و با سنباده ۱۲۰۰ و پولیش ۱، ۳ و ۴۵۰ میکرون آماده‌سازی شدند و سپس تحت آنالیز SEM فرار گرفتند. برای تشخیص فازهای موجود در مواد اولیه و محصولات از دستگاه پراش اشعه ایکس XRD مدل PANalytical X'pert PRO با استفاده از اشعه  $K\alpha$  مس با طول موج ۱۵۴۰۶  $\text{Å}$  نانومتر استفاده شد. برای محاسبه اندازه کریستالیت فازها از روش شرمنه مبتنی بر پهنه‌ای پیک در طیف XRD استفاده شد. دستگاه مورد استفاده برای بررسی قطر ذرات مواد اولیه پودری SHIMADZU SALD-2101 ساخت کشور ژاپن بود. برای این کار ابتدا مقداری از پودر در داخل آب مقطر با کمک حمام امواج فرماصوت به مدت ۱۵ دقیقه پراکنده‌سازی شد و سپس به داخل دستگاه شارژ شد.

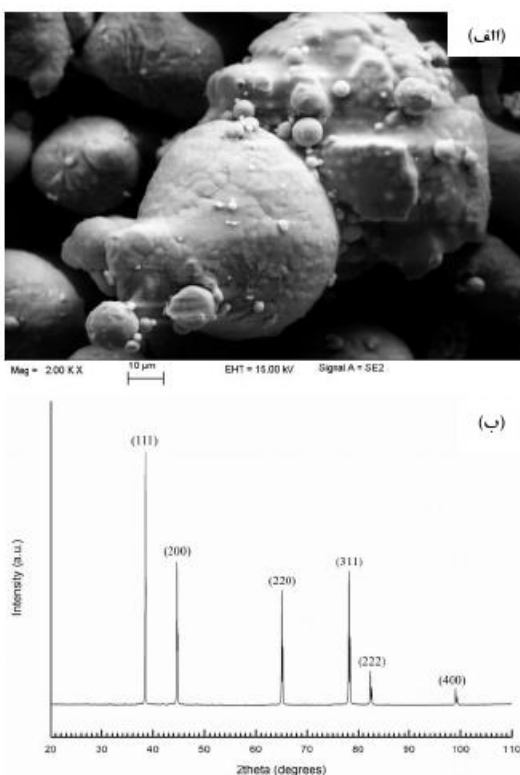
### ۲-۳- طراحی آزمایش‌ها

در این تحقیق برای بررسی تأثیر فعال‌سازی مکانیکی پودر بر اتفاقات حرارتی، روی نمونه‌های پودری فعال‌سازی نشده و فعال‌سازی شده به مدت یک ساعت در دستگاه DTA در بازه دمایی ۱۳۰۰-۲۰ درجه سانتی‌گراد آنالیز حرارتی صورت گرفت. به منظور بررسی تأثیر سرعت گرمایش، نمونه فعال‌سازی مکانیکی شده با دو سرعت دما  $20^{\circ}\text{C}/\text{min}$  و  $40^{\circ}\text{C}/\text{min}$  درجه سانتی‌گراد گرم شد. برای تشخیص واکنش رخ داده در مورد هر پیک در منحنی DTA نمونه پودری از دمای اتاق تا قبل و بعد از دمای پیک گرم شد. لازم به ذکر است که برای یکسان بودن کامل شرایط، از کوره دستگاه DTA برای گرم کردن نمونه تا دمای مورد نظر استفاده شد. از کلیه نمونه‌های جمع‌آوری شده پس از هر مرحله گرمایش، آنالیز فازی صورت گرفت. در مورد نمونه‌های فعال‌سازی مکانیکی شده علاوه بر واکنش در نمودار DTA با محاسبه سطح زیر پیک مربوط به آن

انتخاب سیستم مواد اولیه مورد استفاده در این پژوهش با در نظر قرار دادن این واقعیت صورت گرفت که در صورت استفاده از  $\text{NiO}$  و  $\text{Al}$  و بهره‌گیری از تنها واکنش ترمیت برای سنتر کامپوزیت  $\text{NiAl}-\text{Al}_2\text{O}_3$  گرمایی زیادی آزاد می‌شود و دمای آدیباپتیک تا بیش از ۳۵۰۰ درجه بالا می‌رود [۱۲]. این دمای آدیباپتیک بسیار بالا، تبخیر اجزاء را در محصولات واکنش به دنبال دارد و در نتیجه محصولات واکنش با یک حالت انفجری شدید متلاشی شده و به این ترتیب دستیابی به یک محصول سالم امکان‌پذیر نیست. با افزودن نیکل و به ازای آن آلومینیم برای تولید  $\text{NiAl}$  از سهم واکنش ترمیت کاسته می‌شود و بدین ترتیب کنترل واکنش آسان‌تر می‌گردد.

### ۲-۴- تجهیزات مورد استفاده

آسیاکاری مکانیکی مخلوط پودری در دستگاه آسیا با مدل PM200 ساخت شرکت Retsch از کشور آلمان انجام شد. آسیاکاری در محفظه آسیاکاری از جنس فولاد زنگ نزن و با حجم ۲۵۰ میلی لیتر در سرعت چرخش آن برابر ۲۸۰ دور بر دقیقه و نسبت وزنی گلوله به پودر برابر ده با گلوله‌های کاربید تنگستن انجام شد. یک درصد وزنی اسید استاریک به عنوان حامل کنترل کننده فرآیند به محفظه آسیا افزوده شد. آسیاکاری در دمای محیط و اتمسفر هوا صورت پذیرفت. برای بررسی واکنش‌های رخ دهنده در مخلوط پودری با بالارفتن دما از دستگاه آنالیز حرارتی دیفرانسیلی DTA مدل TG-DTA 1600 انجام شد. گرمایش نمونه‌های پودری از ۲۰ تا دمای پیشینه ۱۳۰۰ درجه سانتی‌گراد با سرعت گرمایش ۲۰ و ۴۰ درجه سانتی‌گراد بر دقیقه انجام شد. قبل از شروع گرمایش در DTA گاز آرگون به مدت دو ساعت و در حین انجام آزمون به داخل محفظه دستگاه در جریان بود. وزن نمونه‌ها در تمام آزمایش‌ها یکسان و برابر ۱۰ میلی گرم بود. همچنین برای اطمینان بیشتر، دستگاه DTA پیش از انجام آزمایش‌ها برای سرعت‌های ۲۰ و ۴۰ درجه سانتی‌گراد بر دقیقه کالیبره شد. محاسبه آنتالپی هر واکنش در نمودار DTA با محاسبه سطح زیر پیک مربوط به آن

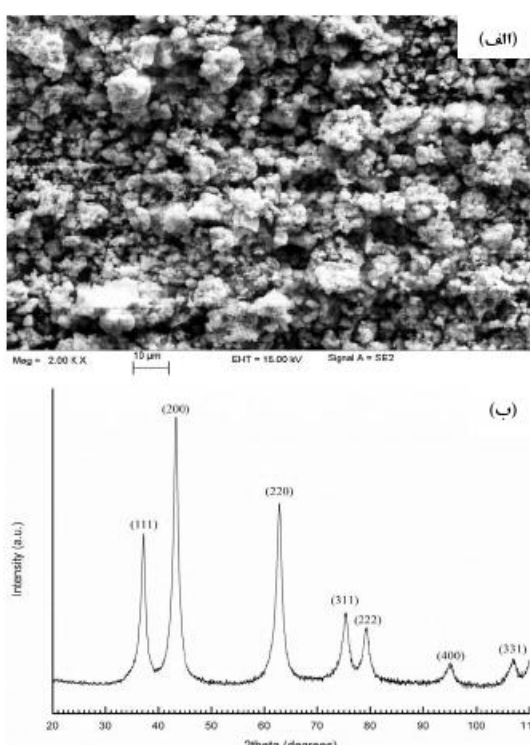


شکل (۳): نتایج آنالیزهای پودر آلمینیم اولیه: (الف): تصویر ریزساختاری XRD و (ب): آنالیز فازی SEM

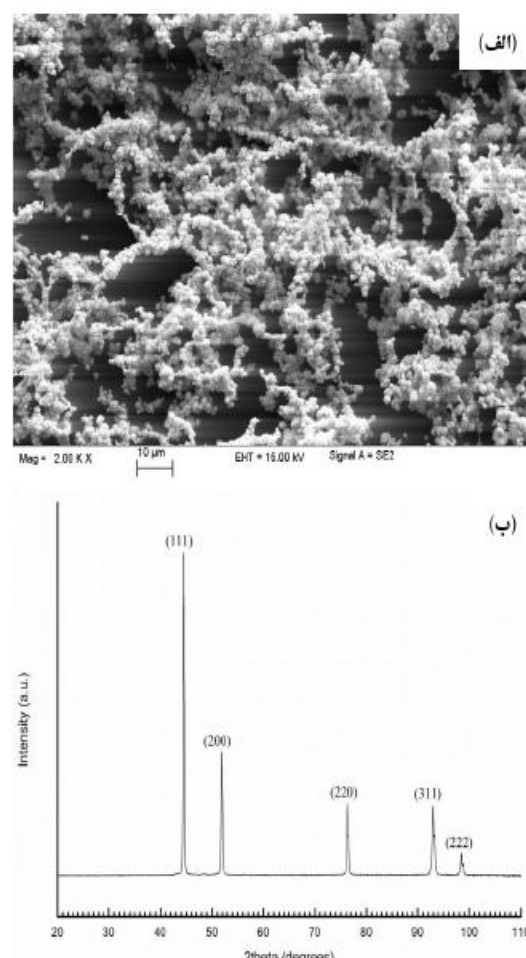
آنالیز فازی، تصویربرداری SEM و آنالیز شیمیایی EDS از نقاط دارای فازهای مختلف صورت گرفت.

### ۳- نتایج و بحث

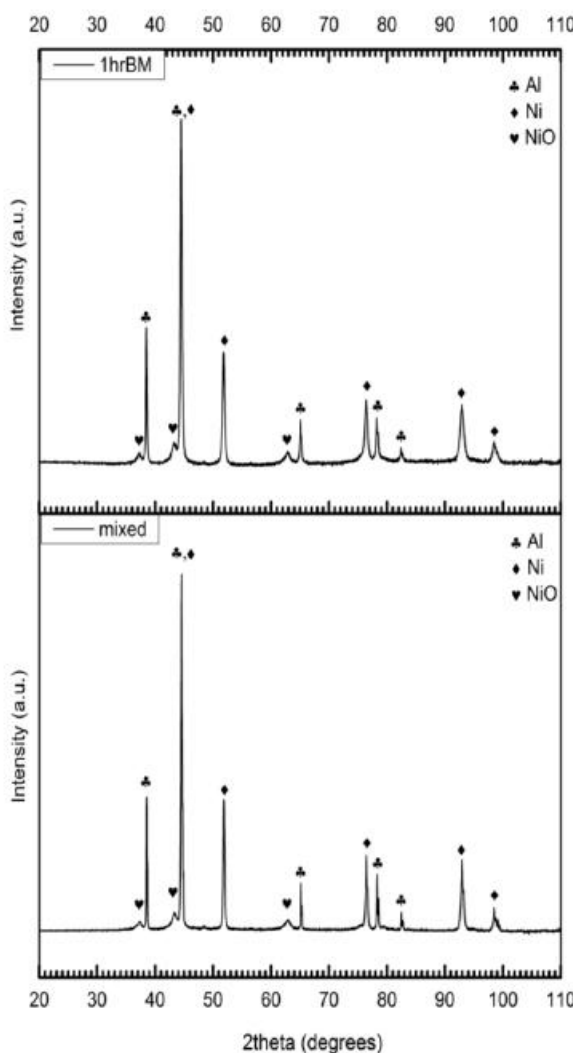
تصاویر میکروسکوب الکترونی روبشی از پودرهای مواد اولیه نیکل، آلمینیم و اکسید نیکل به ترتیب در شکل ۲، ۳ و ۴ قابل مشاهده است. ذرات آلمینیم مورفلوژی کروی و ذرات نیکل و اکسید نیکل مورفلوژی بی نظمی از خود نشان می دهند. نتایج آنالیز فازی برای هر ماده وجود ترکیب مورد نظر را تأیید می کند. نتایج اندازه گیری اندازه ذرات مواد اولیه پودری نشان داد که ۵۰ nm آلمینیم، نیکل و اکسید نیکل به ترتیب برابر ۶۷/۵۳، ۲۵/۳۹ و ۸/۹۶ میکرون است.



شکل (۴): نتایج آنالیزهای پودر اکسید نیکل اولیه: (الف): تصویر ریزساختاری XRD و (ب): آنالیز فازی SEM



شکل (۲): نتایج آنالیزهای پودر نیکل اولیه: (الف): تصویر ریزساختاری XRD و (ب): آنالیز فازی SEM

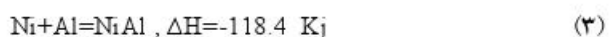
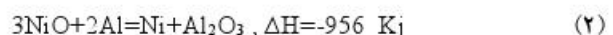


شکل (۵): طیف‌های پراش اشعه ایکس برای مخلوط پودری در زمان‌های مختلف آسیاکاری

۱-۳-۱-۱-۱-۳- نمونه بدون فعال‌سازی  
۱-۳-۱-۱-۱-۳- فایبر فعال‌سازی مکانیکی

منحنی DTA نمونه پودری مخلوط شده در گرمابش از دمای آتاق تا ۱۳۰۰ درجه سانتی‌گراد با سرعت  $40^{\circ}\text{C}/\text{min}$  در شکل ۶ آمده است.

؛ اکنـش (۱) از تلفـق دو واکـنش گـر مـازا تـشـکـل شـده است:



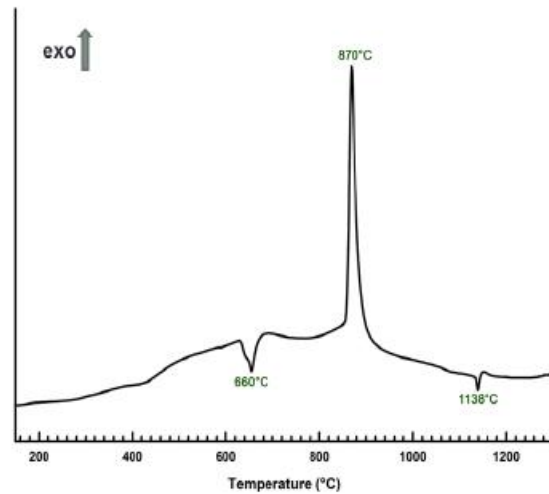
همان گونه که مشاهده می شود هر دو واکنش گرمایز هستند و گرمای آزاد شونده از واکنش (۲) به طور قابل توجهی از گرمای حاصل از واکنش (۳) بیشتر است. اگر واکنش (۱) در شرایط آدیبااتیک رخ دهد مطابق محاسبات ترمودینامیکی دمای سیستم به  $2300$  کلوین می رسد که این دما بالاتر از دمای معیار مرزا نو برای رخ دادن واکنش های سنتر احتراقی ( $T = 1800K$ ) است. بنابراین انتظار می رود که با گرمایش، سیستم واکنش سنتر احتراقی را تحریج به کند.

نتایج آنالیز فازی نمونه‌های پودری مخلوط شده و آسیاکاری شده به مدت یک ساعت در شکل ۵ گزارش شده است. همان-گونه که مشاهده می‌شود در پودر مخلوط شده و پودر آسیاکاری شده به مدت یک ساعت تنها پیکهای مواد اولیه یعنی  $\text{NiO}$  و  $\text{Al}_2\text{O}_3$  قابل مشاهده هستند و واکنشی بین مواد واکنش دهنده در ظرف آسیا رخ نداده است. بنابراین آسیاکاری به مدت یک ساعت تنها می‌تواند موجب فعال‌سازی مکانیکی مخلوط پودری بدون رخداد واکنش بین مواد اولیه شود. نمونه-های پودری مخلوط شده و فعال‌سازی شده با توجه به آزمایش-های طراحی شده تحت گرمایش قرار گرفتند. تفاوت این کار با پژوهش  $\text{Udhayabani}$  و همکارانش [۱۶] در این است که آنها در حین فرآیند آسیاکاری رخ دادن واکنش بین مواد اولیه و تشکیل محصولات را مشاهده کردند و از فرآیند گرمایشی بعدی با هدف تکمیل شدن واکنش‌ها بهره گرفتند. بنابراین واکنش‌های رخ دهنده در زمان گرمایش و نوع نگاه در پژوهش  $\text{Udhayabani}$  و همکارانش، با این پژوهش که پودر تنها فعال-سازی مکانیکی، شده است متفاوت است.

می شود. می توان از گرمای آزاد شده از تشکیل ترکیبات نیکل آلمینایدی، در مقابل گرمای آزاد شده از واکنش احیای اکسید نیکل با آلمینیم چشم پوشی کرد. محاسبات ترمودینامیکی با توجه به ترکیب و جرم پودر مورد استفاده نشان می دهدند که در حالت تحریق انرژی آزاد شده از فرآیند احیای اکسید نیکل با آلمینیم مذاب برابر  $977 \text{ kJ}$  خواهد بود که با مقدار انرژی آزاد شده محاسبه شده از سطح زیر منحنی DTA (برابر  $977 \text{ kJ}$ ) مطابقت عالی نشان می دهد. رویداد حرارتی در  $870^\circ\text{C}$  درجه سانتی گراد را می توان به احیای  $\text{NiO}$  با  $\text{Al}$  مذاب و اتمام کامل  $\text{AlNi}$  و  $\text{Al}_3\text{Ni}_2$  و فازهای بین فلزی ( $\text{AlNi}_3$  و  $\text{Al}_3\text{Ni}$ ) به دلیل تأمین شدن انرژی اکتیو اسیون تشکیل آنها از گرمای حاصل از واکنش احیا ارتباط داد که موجب آزاد شدن گرمای زیادی می شود.  $\text{Udhayabani}$  و همکارانش نیز احیای اکسید نیکل را پس از رخ دادن ذوب آلمینیم در حین گرمایش مخلوط پودری  $\text{NiO}$  و  $\text{Al}$  آسیا کاری نشده گزارش کردند [۲۱].

در شکل ۶، پیک گرمایگیر در منحنی DTA در درجه سانتی گراد مطابق دیاگرام فازی دوتایی  $\text{Ni}-\text{Al}$  در شکل ۱، مربوط به ذوب  $\text{Al}_3\text{Ni}_2$  است، با بالاتر رفتن دما و حضور مذاب  $\text{Al}_3\text{Ni}_2$ ، تشکیل بین فلزی ها تسهیل می شود و همانطور که در طیف XRD مربوط به این دما در شکل ۷ دیده می شود  $\text{Ni}$  عنصری کاملاً مصرف شده است.

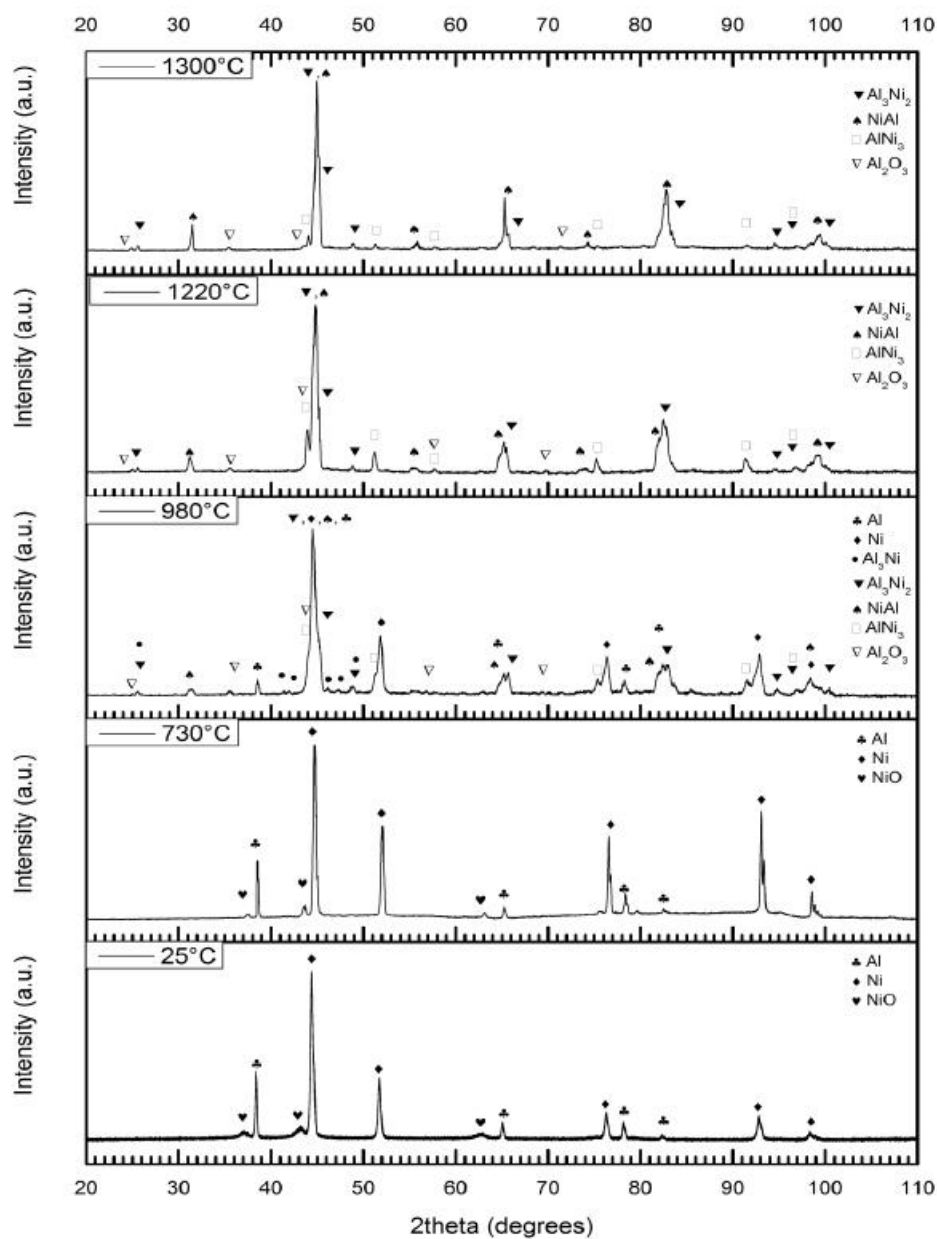
با گذشت زمان و افزایش دما، سیستم به سمت ترکیب تعادلی تعیین شده از استوکیومتری واکنش پیش می رود و همان گونه که آنالیز فازی نشان می دهد در  $1300^\circ\text{C}$  درجه سانتی گراد فازهای بین فلزی  $\text{AlNi}_3$ ،  $\text{Al}_3\text{Ni}_2$ ،  $\text{AlNi}$  در کنار فاز غالب  $\text{NiAl}$  وجود دارند. این به آن معنا است که در مخلوط پودری معال سازی مکابکی نشده با سرعت گرمایش  $40^\circ\text{C}/\text{min}$  درجه سانتی گراد بر دقيقه برای دستیابی به محصول نهایی  $\text{AlNi}$  و  $\text{Al}_2\text{O}_3$  نیاز به دماهای بالاتر جهت پیشرفت بیشتر نفوذ وجود دارد.



شکل (۶): منحنی DTA نمونه پودری مخلوط معال سازی نشده با سرعت گرمایش  $40^\circ\text{C}/\text{min}$

از نمونه گرم شده از دمای اتاق تا دمای قبل و بعد هر پیک آنالیز فازی انجام شد که نتایج آن در شکل ۷ آورده شده است. بررسی منحنی DTA و آنالیز فازی سیستم در دماهای مختلف می تواند اتفاقات رخ دهنده در پیکها را مشخص نماید. در شکل ۶ اولین پیک گرمایگیر در منحنی DTA در درجه سانتی گراد مشاهده می شود که مربوط به ذوب آلمینیم است. گرمای برآورد شده از منحنی برای پیک گرمایگیر اول برابر  $1/10$  ژول است که با مقدار تحریق محاسبه شده آن برای جرم پودر تحت آزمون و ترکیب آن  $1/28$  ژول است مطابقت نسبتاً خوبی دارد. مطابق منحنی DTA درجه سانتی گراد قبل از رخداد پیک گرمایزی بزرگ است و آلمینیم در این دما به صورت مذاب وجود دارد و مطابق شکل ۷ فازهای موجود همانند فازهای موجود در دمای اتاق هستند.

در شکل ۶ پیک گرمایزی بزرگ در حدود دمای  $870^\circ\text{C}$  درجه سانتی گراد در منحنی DTA مشاهده می شود، آنالیز فازی نمونه در این دما در شکل ۷، مصرف شدن کامل  $\text{NiO}$  و تشکیل فازهای نیکل آلمینایدی را نشان می دهد. بنابراین رویداد حرارتی در  $870^\circ\text{C}$  درجه سانتی گراد را می توان به احیای  $\text{NiO}$  با  $\text{AlNi}$ ،  $\text{Al}_3\text{Ni}_2$ ،  $\text{Al}_3\text{Ni}$  و  $\text{AlNi}_3$  و آلمینا ارتباط داد که موجب آزاد شدن گرمای زیادی



شکل (۷): طیف‌های XRD نسونه پودری بدون فعال‌سازی مکانیکی پس از گرمابش در دمای‌های مختلف با سرعت گرمابش  $40^{\circ}\text{C}/\text{min}$

دهماهی مختلف را نشان می‌دهد. در شکل ۱۰ مشاهدات ریزساختاری SEM با حالت الکترون برگشتی به همراه نتیجه فازهای پیش‌بینی شده با در نظر گرفتن تابع کمی آنالیز EDS در جدول ۱ و دیاگرام فازی تعادلی Ni-Al در شکل ۱، ارائه شده است.

**ساعت** ۳-۱-۲- نمونه فعال‌سازی مکافیکی شده به مدت یک

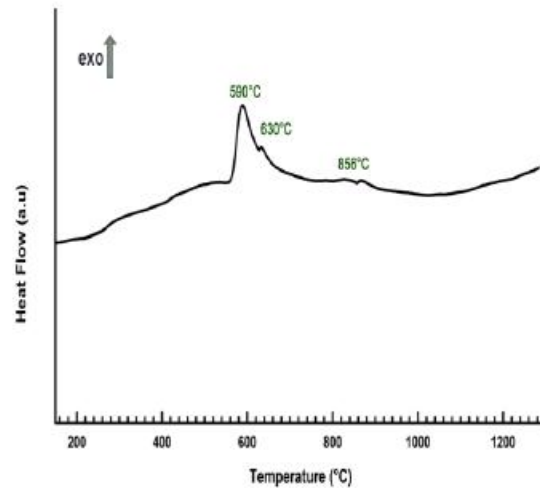
۴۰ °C/min با سرعت

در شکل ۸ نمودار DTA نمونه پودری فعال‌سازی شده به مدت یک ساعت در گرمایش از دمای اتاق تا  $1300^{\circ}\text{C}$  درجه سانتی‌گراد با سرعت  $40^{\circ}\text{C}/\text{min}$  گزارش شده است. در شکل ۹ نتایج آنالیز فازی مربوط به نمونه‌های گرمایش بافتی با سرعت  $40^{\circ}\text{C}/\text{min}$  تا

احیای اکسید نیکل با آلومینیم ایجاد شده است [۲۲]. با افزایش دما، واکنش گرمایی بعدی در  $630^\circ\text{C}$  درجه سانتی گراد (شکل ۸) رخ می‌دهد، با ملاحظه طیف XRD مربوط  $690^\circ\text{C}$  در شکل ۹ و تصاویر ریزساختاری نمونه در این دما (شکل ۱۰-ج) به نظر می‌رسد که در آن واکنش بین نیکل و آلومینیم اولیه و تشکیل فازهای بین فلزی تکمیل شده و گرما آزاد می‌شود. آلومینیم عنصری در تشکیل نیکل آلومینایدها به ویژه در فازهای خنی از آلومینیم مصرف می‌شود و در طیف XRD مربوط به این دما در شکل ۹ و تصاویر ریزساختاری نمونه در این دما (شکل ۱۰-ج) قابل مشاهده نیست. همانند ریزساختار در  $600^\circ\text{C}$ ، نفوذ لایه به لایه آلومینیم در ذرات نیکل و مناطق دارای ذرات منفرد آلومینا در یک بستر نیکل آلومیناید قابل مشاهده هستند.

در دمای  $856^\circ\text{C}$  در منحنی DTA در شکل ۸ یک پیک گرمایی کوچک دیده می‌شود که مطابق شکل ۱، مربوط به ذوب پریتکنیک  $\text{Al}_3\text{Ni}$  است. با بالاتر رفتن دما و تسهیل فرآیند دیفوژیون، نفوذ نیکل و آلومینیم از سمت فازهای خنی از آنها به سمت فازهای فقیر از آنها سیستم را به سمت رسیدن به ترکیب بین فلزی نهایی تعیین شده توسط استوکیومتری واکنش یعنی  $\text{AlNi}$  پیش می‌برد. حضور فاز مذاب  $\text{Al}_3\text{Ni}$  به پیشرفت این فرآیند کمک می‌کند. در طیف آنالیز فازی در  $940^\circ\text{C}$ ، فازهای خنی از آلومینیم و نیز نیکل عنصری دیده نمی‌شوند و تنها مقدار کمی  $\text{AlNi}_3$  در کنار  $\text{AlNi}$  و  $\text{Al}_2\text{O}_3$  قابل مشاهده است. در شکل ۱۰-(د) اثری از ذرات نیکل خالص دیده نمی‌شود و دیفوژیون پیوسته آلومینیم، آنها را با  $\text{AlNi}$  جایگزین کرده است. البته مطابق شکل ۱۰-(د) هنوز مناطقی وجود دارند که به یکنواختی ترکیبی نرسیده‌اند و در آنها  $\text{AlNi}_3$  در مغزه ذره وجود دارد.

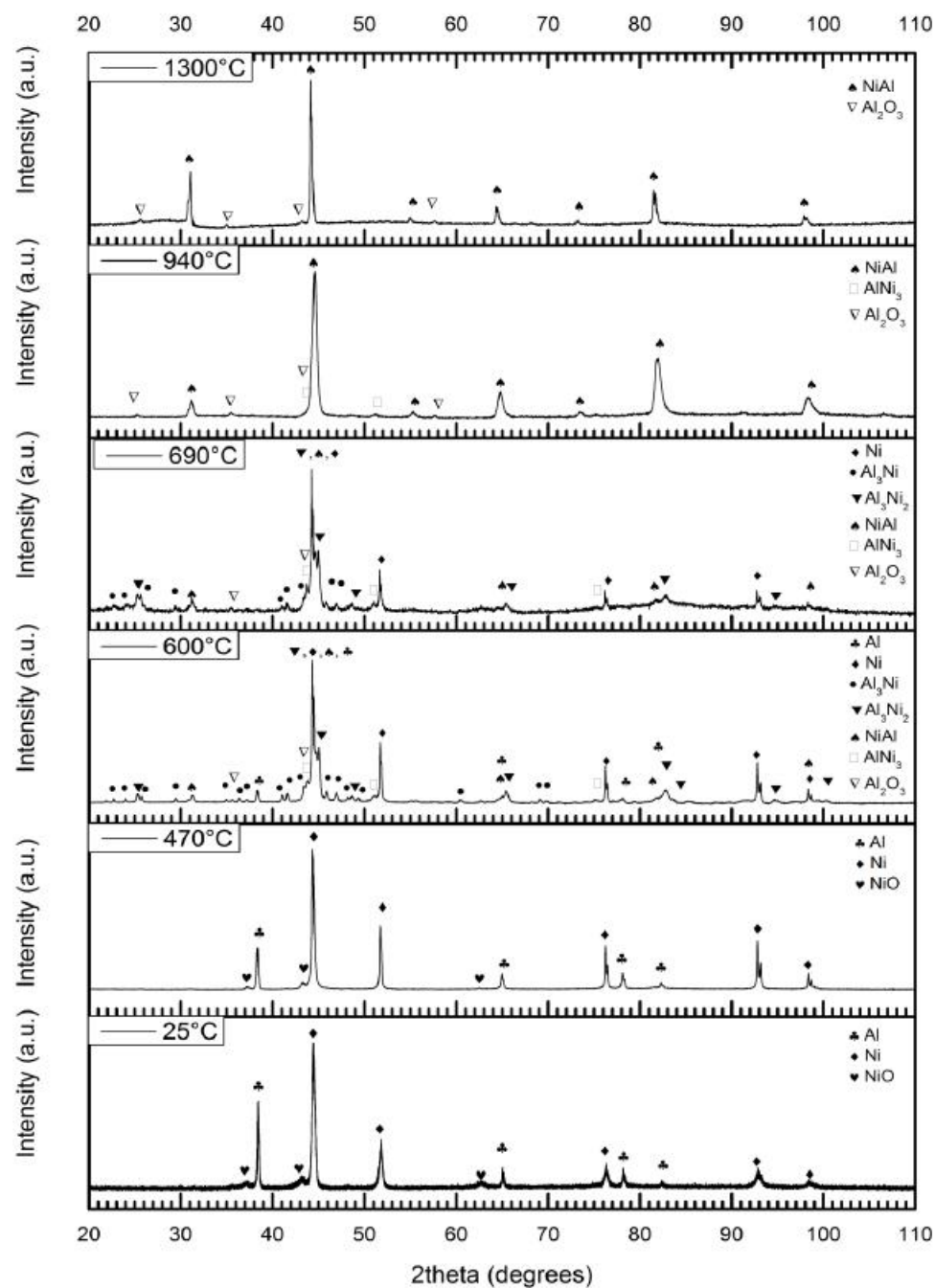
در ریزساختار مربوط به دمای  $1300^\circ\text{C}$  (شکل ۱۰-ه) دانه‌های نک فاز  $\text{NiAl}$  در مناطقی تشکیل شده از  $\text{NiAl}$  و  $\text{Al}_2\text{O}_3$  فرار گرفته‌اند و نتیجه آنالیز فازی در شکل ۹ هم مؤید حضور این دو فاز است. در مقایسه با نمونه پودری بدون معال سازی مکابیکی، در این دما دستیابی به محصولات نهایی واکنش (۱) با معال سازی



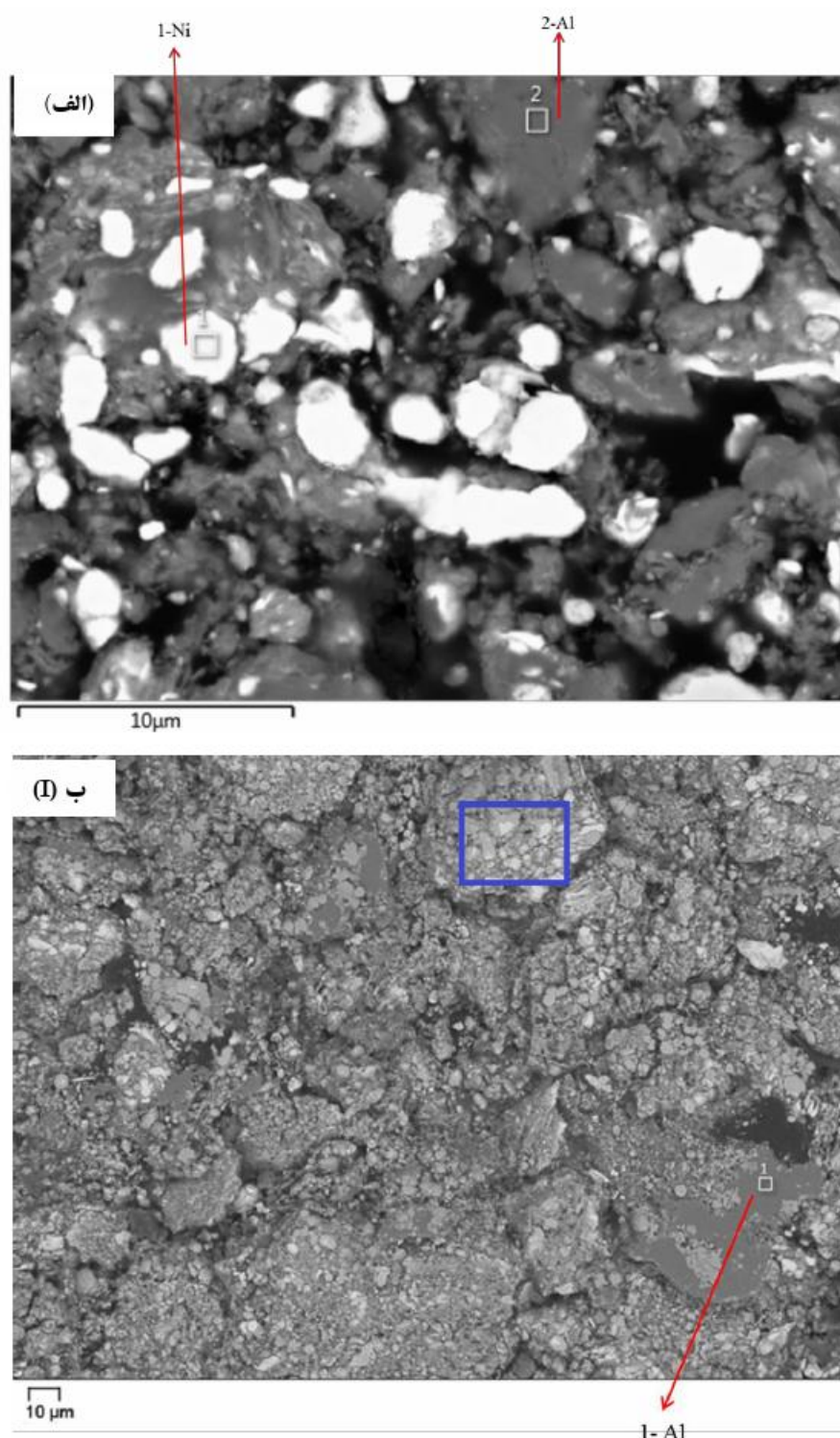
شکل (۸): منحنی DTA نمونه پودری محلول معال سازی مکابیکی شده به مدت پنک ساعت با سرعت گرمابش  $40^\circ\text{C}/\text{min}$

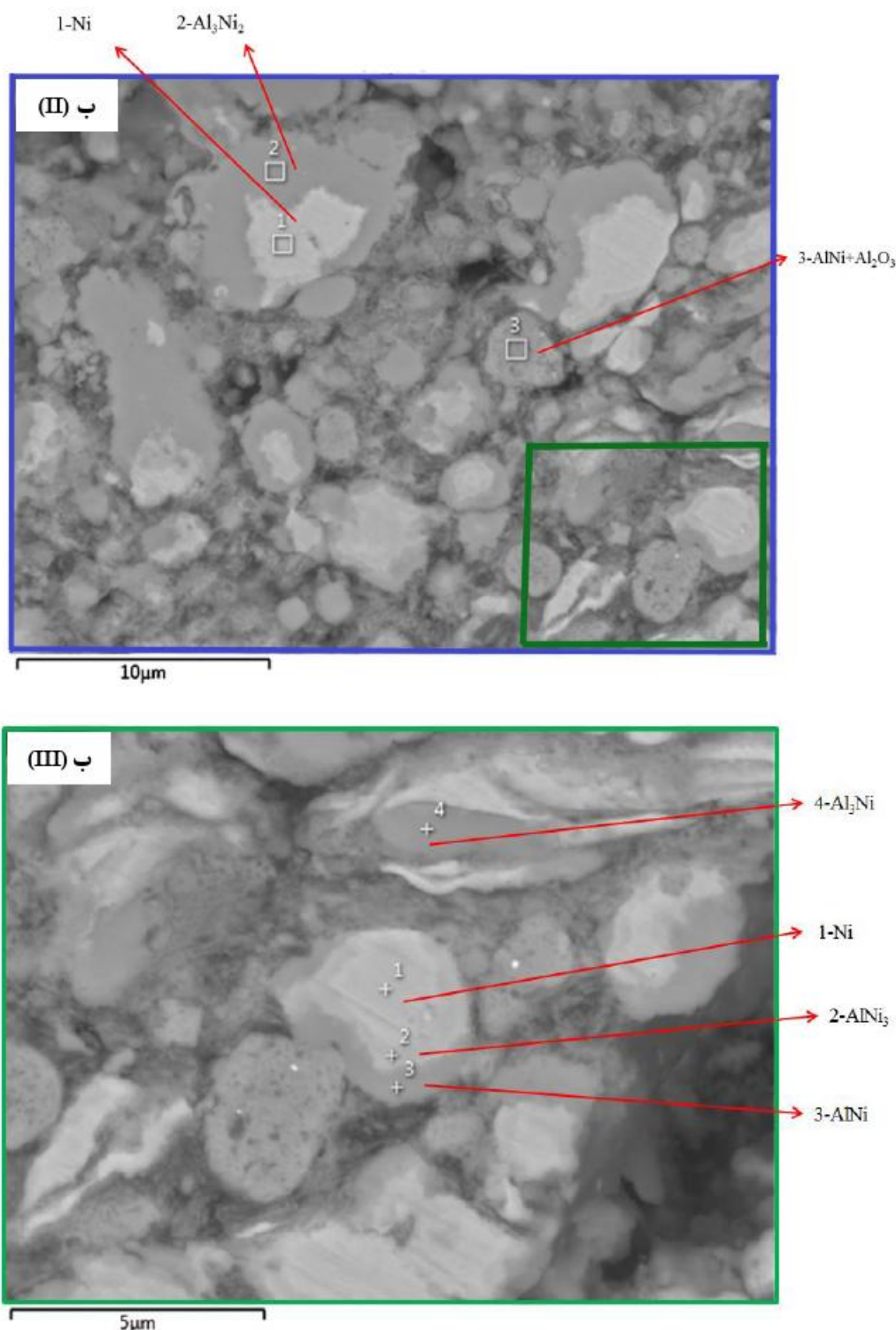
طیف آنالیز فازی نمونه پودری در دمای اتاق در شکل ۹، حضور مواد اولیه را نشان می‌دهد و در شکل ۱۰-(الف) ریزساختار مربوط به نمونه در  $25^\circ\text{C}$  مؤید آن است. در شکل ۹، با مقایسه طیف آنالیز فازی قبل ( $470^\circ\text{C}$ ) و بعد ( $600^\circ\text{C}$ ) از پیک گرمایی DTA در  $590^\circ\text{C}$  مشاهده می‌شود که پیک‌های مربوط به  $\text{NiO}$  موجود در مواد اولیه در  $600^\circ\text{C}$  ناپدید و پیک‌های فازهای بین فلزی  $\text{AlNi}_3$ ،  $\text{Al}_3\text{Ni}_2$ ،  $\text{Al}_3\text{Ni}_1$  و آلومینا پدیدار شده‌اند. حضور پیک‌های آلومینا و ناپدید شدن پیک‌های اکسید نیکل نشانگر رخداد واکنش گرمایی آزاد شده ارزی اکتیواسیون تشکیل بین فلزی‌ها بین نیکل تازه تشکیل شده از احیا و نیکل موجود در مواد اولیه و آلومینیم را تأمین می‌کند و مقداری از ترکیبات بین فلزی در این دما تشکیل می‌شوند که مشاهدات ریزساختاری در شکل ۱۰-(ب) آن را تأیید می‌کند. شکل ۱۰-(ب) نشان می‌دهد که نفوذ آلومینیم به ذرات نیکل از سطح خارجی موجب ایجاد لایه‌های متخلک از نیکل آلومیناید‌های با ترکیبات مختلف می‌شود که از بیرون به سمت مغز ذره نیکل، لایه‌های نیکل آلومینایدی از آلومینیم فقیرتر می‌شوند. در عین حال در مناطقی یک فاز نیکل آلومینایدی در کنار ذرات منفرد ریز آلومینا دیده می‌شود. این آلومینای منفرد از

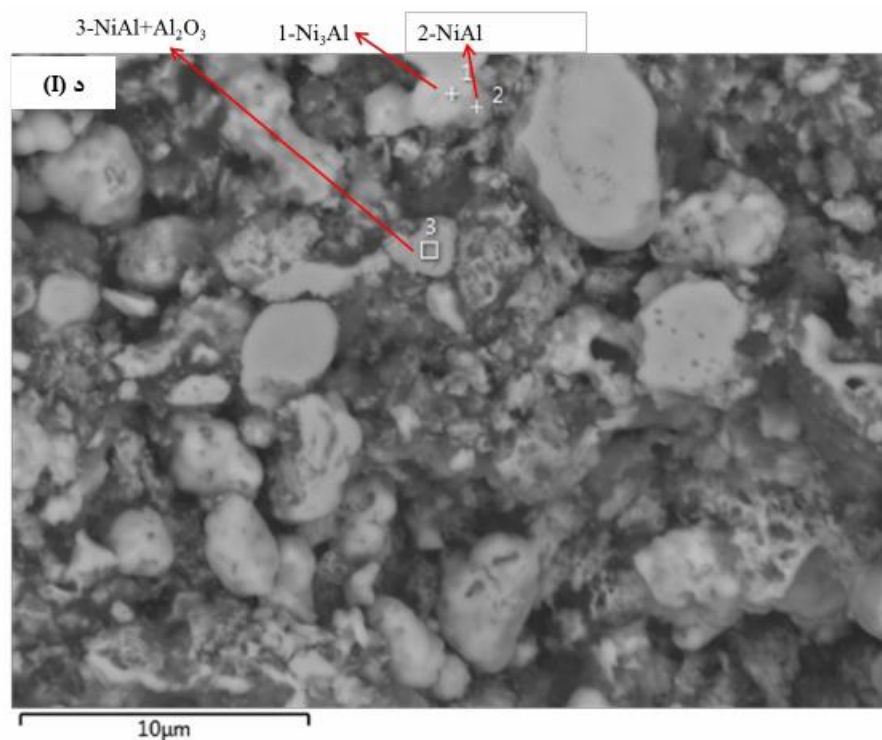
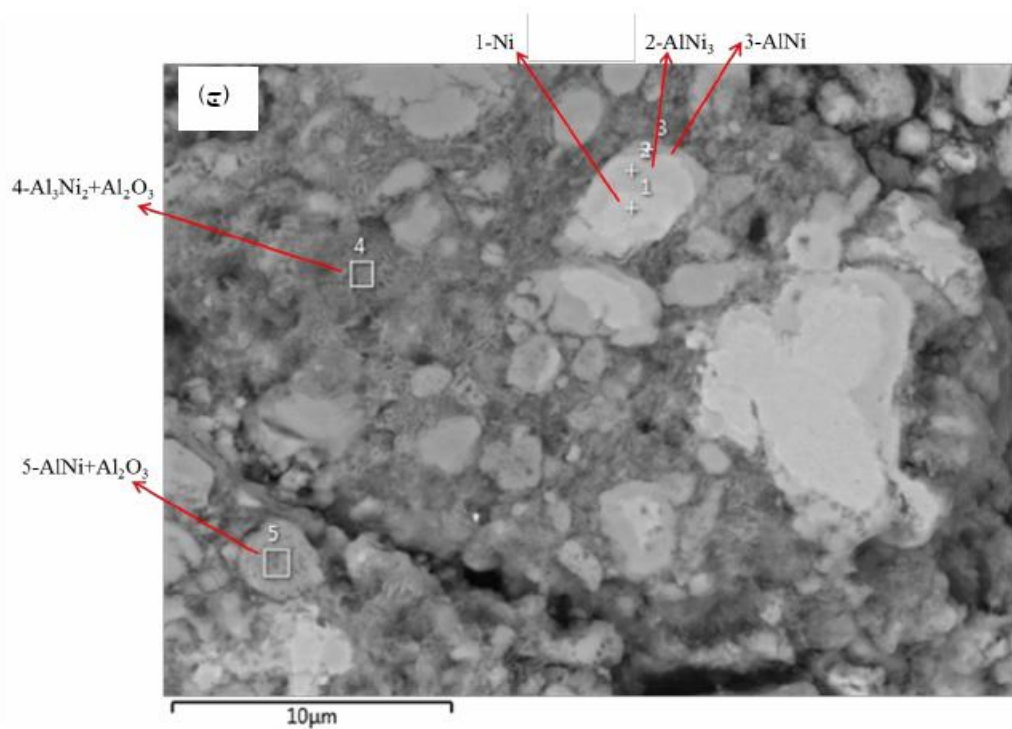
مکانیکی میسر شد. اندازه کریستالیت فاز  $\text{NiAl}$  و  $\text{Al}_2\text{O}_3$  به روش شرمن محاسبه شد و به ترتیب برابر ۸۰ و ۶۱ نانومتر بود.

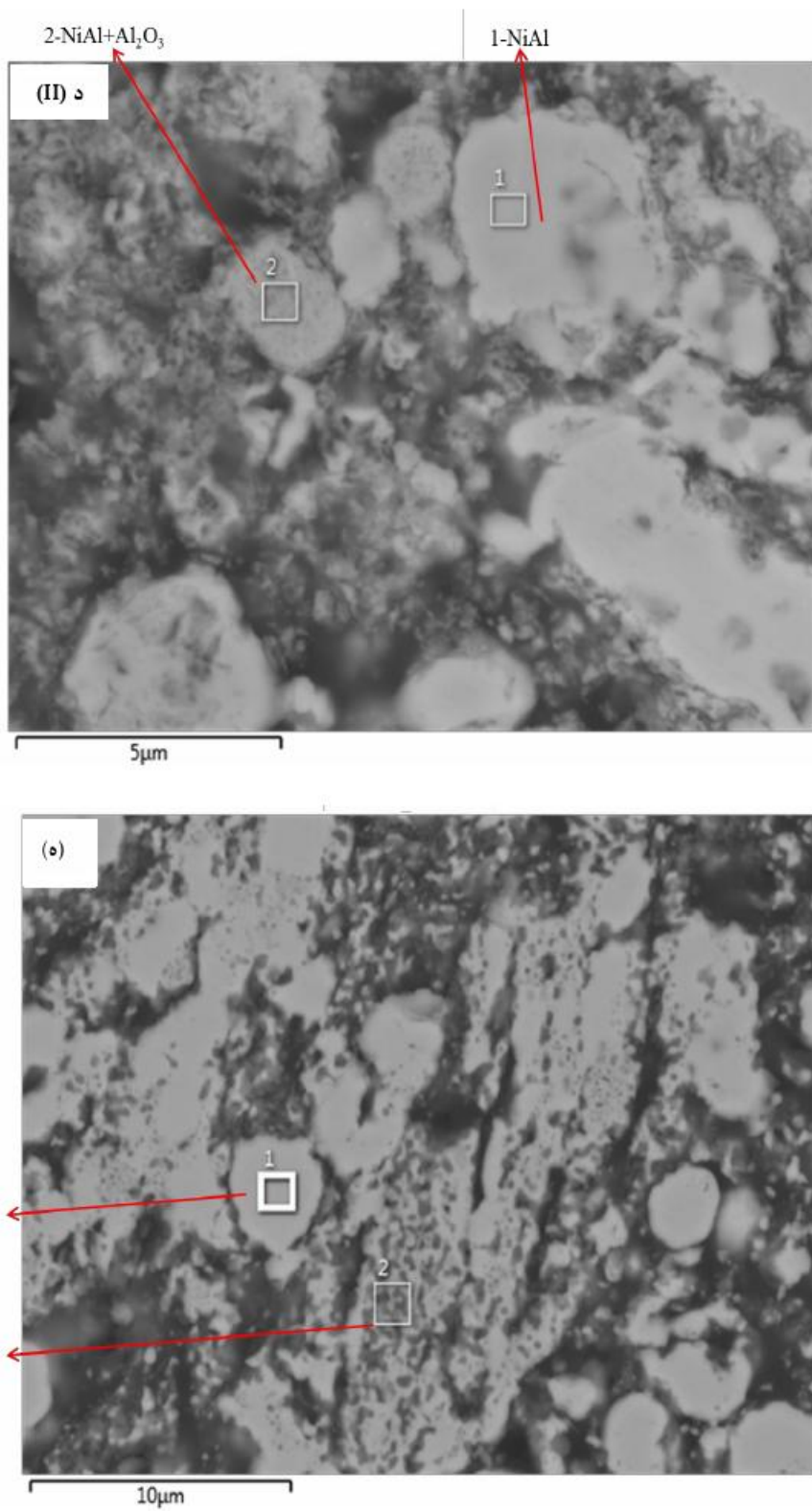


شکل (۹): طیف‌های XRD نسونه پودری فعال‌سازی مکانیکی شده به مدت یک ساعت پس از گرمایش در دماهای مختلف با سرعت گرمایش  $40^{\circ}\text{C}/\text{min}$ .









شکل (۱۰): تصاویر SEM با حالت الکترون‌های برگشتی از ریزساختار نمونه پودری فعال‌سازی مکانیکی شده به مدت یک ساعت در گرمایش با سرعت  $40^{\circ}\text{C}/\text{min}$ ، در دمای‌های مختلف و بزرگنمایی‌های مختلف: (الف):  $25^{\circ}\text{C}$ ، (ب):  $600^{\circ}\text{C}$ ، (ج):  $690^{\circ}\text{C}$ ، (د):  $940^{\circ}\text{C}$  و (ه):  $1300^{\circ}\text{C}$

جدول(۱): نتایج کمی آنالیز عنصری EDS برای تصاویر SEM در شکل ۱۰ مربوط به نسونه پودری فعال سازی مکانیکی شده به مدت یک ساعت در گرمابش با سرعت ۴۰ °C/min

شکل	دما	شاره طیف	O at.%	Al at.%	Ni at.%
الف	۲۵°C	۱	۰/۰	۱/۵	۹۸/۵
الف	۲۵°C	۲	۳/۰	۹۵/۵	۱/۵
(I)، ب،	۶۰.۰°C	۱	۱/۲	۹۷/۹	۰/۹
(II)، ب،	۶۰.۰°C	۱	۰/۹	۲/۶	۹۶/۵
(II)، ب،	۶۰.۰°C	۲	۰/۷	۵۹/۵	۳۹/۸
(II)، ب،	۶۰.۰°C	۳	۱۷/۰	۴۶/۳	۳۵/۹
(III)، ب،	۶۰.۰°C	۱	۰/۸	۱/۰	۹۸/۲
(III)، ب،	۶۰.۰°C	۲	۰/۸	۲۹/۲	۷۰/۰
(III)، ب،	۶۰.۰°C	۳	۱/۳	۵۱/۵	۴۷/۲
(III)، ب،	۶۰.۰°C	۴	۰/۶	۷۶/۴	۲۵/۰
ج	۶۹.۰°C	۱	۰/۴	۲/۰	۹۷/۶
ج	۶۹.۰°C	۲	۱/۱	۲۷/۵	۷۱/۴
ج	۶۹.۰°C	۳	۲/۴	۵۱/۵	۴۶/۱
ج	۶۹.۰°C	۴	۲۹/۵	۵۰/۵	۲۰/۰
ج	۶۹.۰°C	۵	۱۹/۵	۴۵/۸	۳۳/۹
(I)، د	۹۴.۰°C	۱	۰/۸	۲۴/۱	۷۵/۱
(I)، د	۹۴.۰°C	۲	۱/۵	۴۲/۸	۵۵/۷
(I)، د	۹۴.۰°C	۳	۱۴/۲	۴۶/۷	۳۹/۱
(II)، د	۹۴.۰°C	۱	۰/۷	۴۵/۵	۵۳/۸
(II)، د	۹۴.۰°C	۲	۱۷/۷	۴۷/۰	۳۵/۳
*	۱۳۰.۰°C	۱	۰/۵	۴۹/۵	۵۰/۰
*	۱۳۰.۰°C	۲	۳۴/۲	۴۵/۸	۲۰/۰

اعمال آسیاکاری در پژوهش Udhayabany و همکارانش نیز مشاهده شده است [۲۱]. همچنین پیک‌های احیای اکسید نیکل و تشکیل نیکل آلومینیایدها که در حالت بدون آسیاکاری در یک پیک ادغام شده بودند با آسیاکاری به صورت مجزا از هم مشاهده می‌شوند. از آنجا که ثابت سرعت واکنش احیا و ثابت سرعت دیفوژیون آلومینیم برای تشکیل فازهای بین فلزی با دما رابطه نمایی دارد با رخ دادن واکنش‌ها در دماهای پایین تر (در حالت آسیاکاری یک ساعته) انتظار می‌رود که با افت نمایی

با مقایسه منحنی‌های DTA در حالت پودر بدون فعال سازی در شکل ۶ با پودر فعال سازی شده به مدت یک ساعت در شکل ۸ مشخص می‌شود که با آسیاکاری مکانیکی شروع واکنش گرمایشی به دماهای پایین تر یعنی از ۸۷۰°C در حالت بدون فعال سازی به ۵۹۰°C با فعال سازی مکانیکی یک ساعته کشیده می‌شود، بدین ترتیب واکنش‌ها بدون حضور فاز مذاب و در حالت جامد رخ می‌دهند و بنابراین مکانیزم واکنش‌ها به طور کامل تفاوت می‌کند. کشیده شدن پیک احیای اکسید نیکل به دماهای پایین تر با

پیک، ناپدید شدن پیک‌های  $\text{NiO}$  و پدیدار شدن پیک‌های مربوط به فازهای نیکل آلمینیا بدی  $\text{Al}_3\text{Ni}_1$ ,  $\text{Al}_3\text{Ni}_{12}$ ,  $\text{Al}_3\text{Ni}$  و  $\text{AlNi}_3$  و نیز آلمینا را در  $600^\circ\text{C}$  نشان می‌دهد. این یافته‌ها مشابه رخداد حرارتی در  $590^\circ\text{C}$  در شکل ۸ هستند و به همان دلایل ذکر شده در مورد آن پیک، می‌توان پیک گرمایی  $590^\circ\text{C}$  در شکل ۱۱ نیز به واکنش احیای اکسید نیکل و آلمینیم و نیز تشکیل فازهای نیکل آلمینیا بدی به دلیل تأمین شدن انرژی اکتیواسیون تشکیل آنها از گرمایی واکنش احیا نسبت داد. شکل ۱۳-(الف) نفوذ آلمینیم به ذرات نیکل موجب شکل گرفتن لایه‌های خنی از آلمینیم در سطح خارجی ذره نیکل می‌شوند که به سمت مرکز ذره از مقدار آلمینیم آنها کاسته و بر مقدار نیکل آنها افزوده می‌شود. در این دما نیز، مناطقی مشکل از یک فاز نیکل آلمینیا بدی به صورت بستری برای ذرات ریز آلمینا قابل مشاهده است.

در شکل ۱۱ واکنش گرمایی بعدی در  $630^\circ\text{C}$  درجه سانتی گراد رخ می‌دهد که در آن آلمینیم به دلیل مصرف شدن در واکنش با نیکل و تشکیل بین فلزی‌ها در طیف XRD مربوط به دمای  $660^\circ\text{C}$  در شکل ۱۲ و در تصاویر ریزساختاری شکل ۱۳-(ب) مشاهده نمی‌شود. در شکل ۱۳-(ب) همانند ریزساختار در  $600^\circ\text{C}$ ، تشکیل لایه به لایه فازهای بین فلزی به دلیل نفوذ آلمینیم در ذرات نیکل و مناطقی مشکل از آلمینا در یک بستر نیکل آلمینیا بدی قابل مشاهده است.

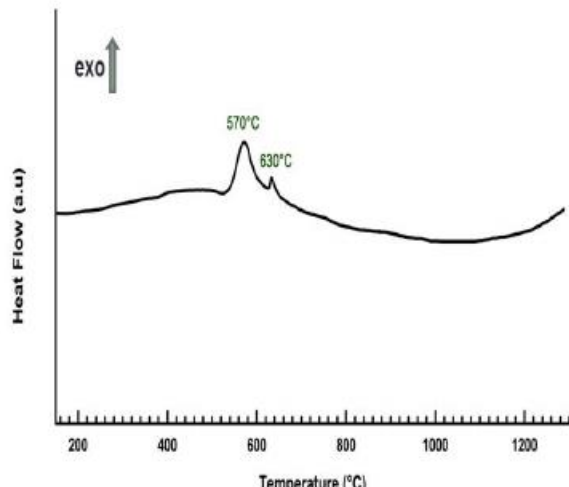
در منحنی DTA مربوط به سرعت گرمایش  $20^\circ\text{C}/\text{min}$  در شکل ۱۱، پیک گرمایشی ذوب پریتکنیک  $\text{Al}_3\text{Ni}$  همانند شکل ۸ دیده نمی‌شود، دلیل آن این است که با آرامتر شدن سرعت گرمایش زمان بیشتری برای انجام فرآیندهای نفوذی و در نتیجه مصرف شدن این ترکیب برای تشکیل بین فلزی‌های دیگر وجود دارد. با بالارفتن دما و پیشرفت دیفووزیون عنصر، سیستم را برای رسیدن به ترکیب تعادلی تعیین شده در استرکیومتری پیش می‌برد.

در نهایت ریزساختار در دمای  $1300^\circ\text{C}$  درجه سانتی گراد (شکل ۱۳-ج) مشابه نمونه با سرعت گرمایش بالاتر، شامل دانه‌های

ثابت سرعت واکنش و ثابت دیفووزیون، تفاوت بین این ثوابت افزایش یابد و بنابراین پیک‌های احیای اکسید نیکل و تشکیل فازهای نیکل آلمینیا بدی به صورت جداگانه در منحنی DTA (شکل ۸) ظاهر شوند.

### ۲-۲-۱-۳- گرمایش با سرعت $20^\circ\text{C}/\text{min}$

منحنی DTA نمونه پودری آسیاکاری شده به مدت یک ساعت در گرمایش از دمای اتاق تا  $1300^\circ\text{C}$  درجه سانتی گراد با سرعت  $20^\circ\text{C}/\text{min}$  در شکل ۱۱ آمده است. در شکل ۱۲ نتایج آنالیز فازی مربوط به نمونه‌های گرمایش یافته با سرعت  $20^\circ\text{C}/\text{min}$  در دمای مختلف دیده می‌شود. در شکل ۱۳ مشاهدات ریزساختاری SEM با حالت الکترون برگشتی به همراه نتایج فازهای پیش‌بینی شده با در نظر گرفتن نتایج کمی آنالیز EDS در جدول ۲ و دیاگرام فازی تعادلی  $\text{Ni}-\text{Al}$  در شکل ۱، ارائه شده است.

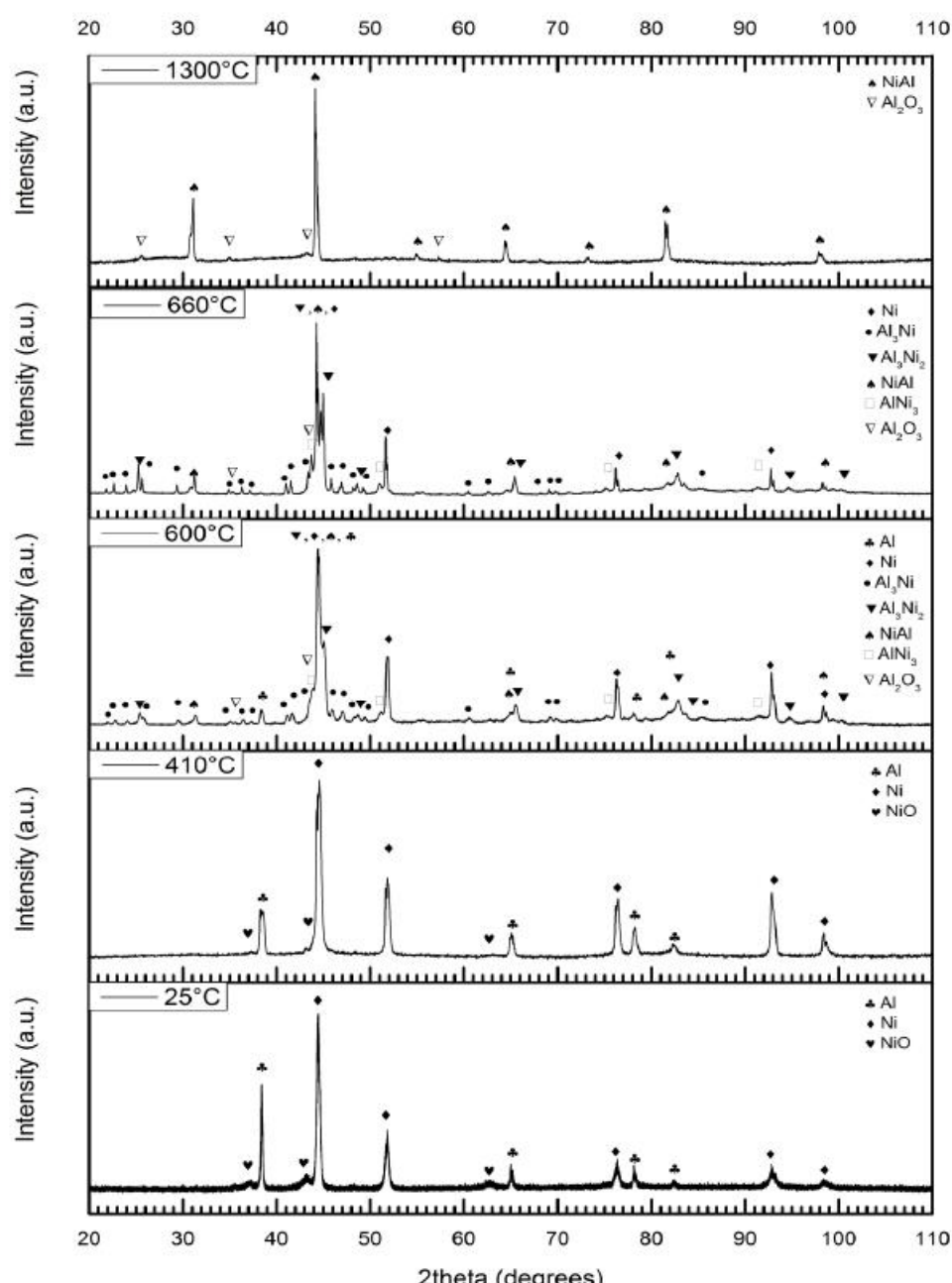


شکل (۱۱): منحنی DTA نمونه پودری معالسازی مکابکی شده به مدت یک ساعت با سرعت گرمایش  $20^\circ\text{C}/\text{min}$

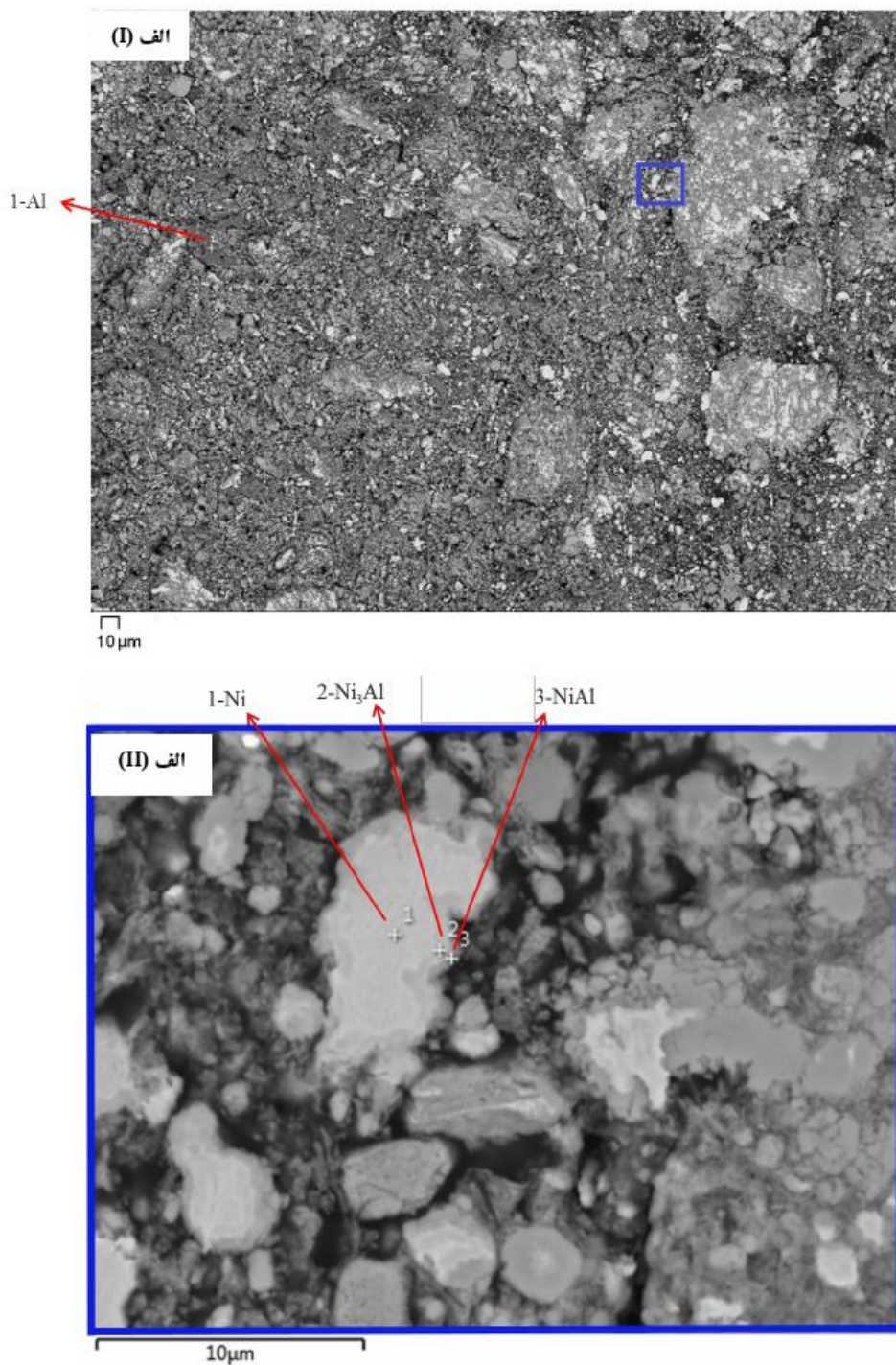
در شکل ۱۱ دیده می‌شود که اولین پیک گرمایی در دمای  $570^\circ\text{C}$  رخ می‌دهد. تا این دما در شکل ۱۱ هیچ رخداد حرارتی دیگری دیده نمی‌شود و آنالیز فازی مربوط به  $410^\circ\text{C}$  در شکل ۱۲، تنها حضور مواد اولیه را نشان می‌دهند. نتیجه آنالیز فازی نمونه در شکل ۱۲، در قبل ( $410^\circ\text{C}$ ) و بعد ( $600^\circ\text{C}$ ) از این

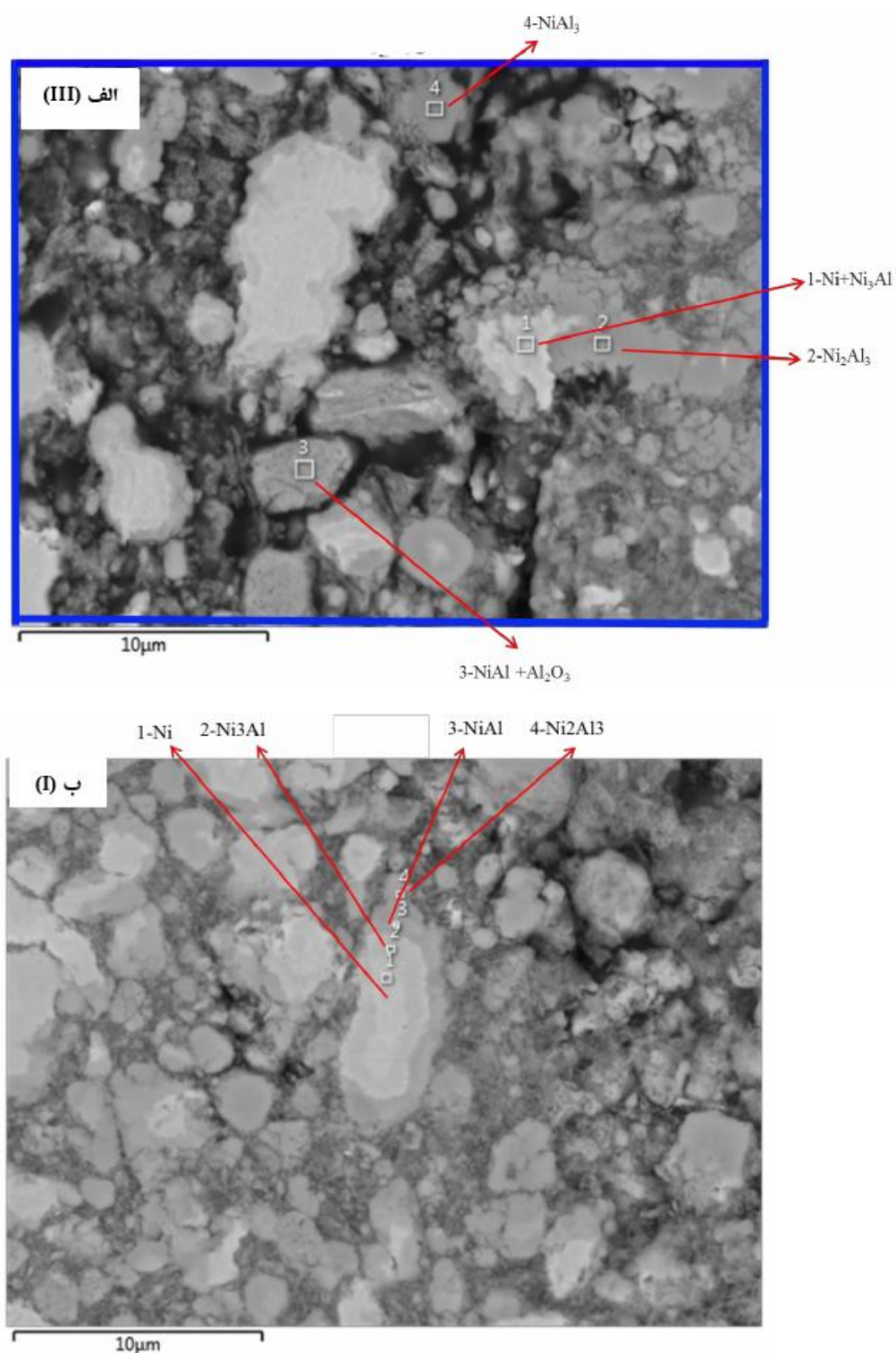
گرمایش  $40^{\circ}\text{C}/\text{min}$  در شکل ۸ برمی‌آید، با کاهش سرعت گرمایش پیک‌ها در دماهای پایین تر اتفاق می‌افتد. به دلیل ذکر شده در مورد کاهش نمایی ثابت سرعت واکنش احیا و ثابت سرعت دیفوژیون آلمینیم با کاهش دما، دو پیک مربوط به این واکنش‌ها در حالت با سرعت گرمایش  $20^{\circ}\text{C}/\text{min}$  نسبت به سرعت گرمایش  $40^{\circ}\text{C}/\text{min}$  از هم مجزاتر رخ می‌دهند.

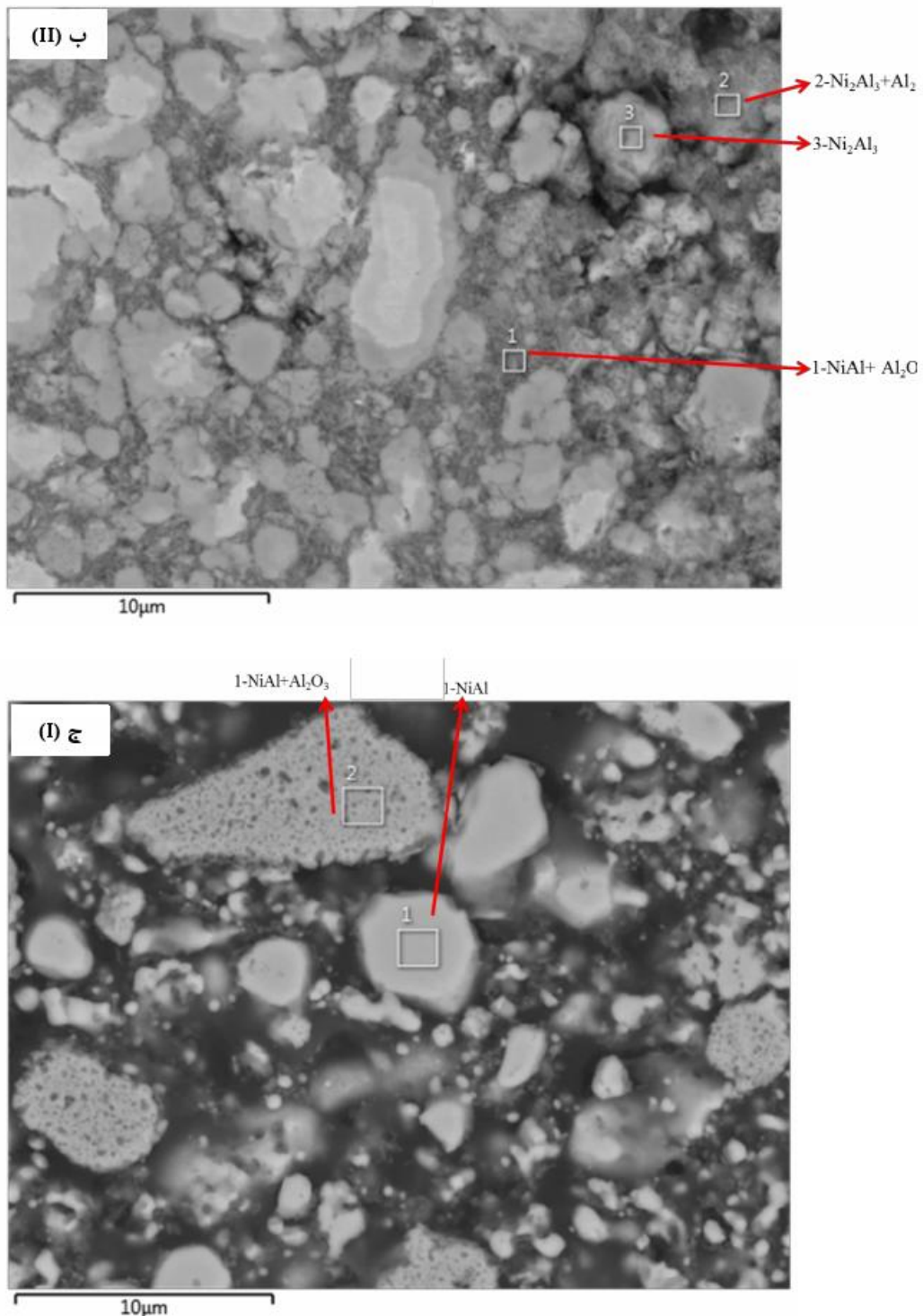
تک فاز NiAl در کنار مناطقی تشکیل شده از  $\text{NiAl}$  و  $\text{Al}_2\text{O}_3$  قرار گرفته‌اند و نتایج XRD در شکل ۱۲ هم حضور این دو فاز را تأیید می‌کند. اندازه کریستالیت فاز  $\text{NiAl}$  و  $\text{Al}_2\text{O}_3$  محاسبه شده به روش شرر به ترتیب برابر  $85$  و  $65$  نانومتر بود. همانطور که از مقایسه منحنی DTA پودر آسیاکاری یک ساعت به با سرعت گرمایش  $20^{\circ}\text{C}/\text{min}$  در شکل ۱۱ و با سرعت

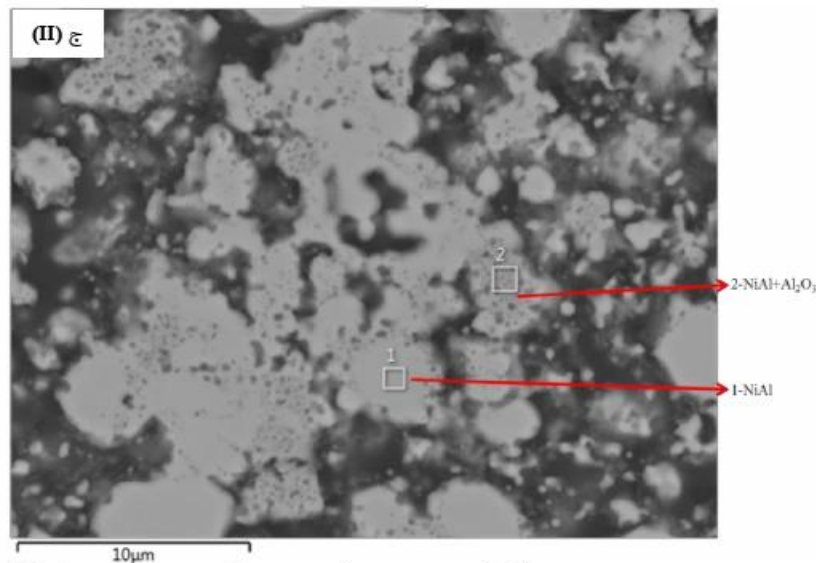


شکل (۱۲): طبقهای XRD نسونه پردری معال سازی مکابکی شده به مدت یک ساعت پس از گرمایش در دماهای مختلف با سرعت گرمایش  $20^{\circ}\text{C}/\text{min}$









شکل (۱۳): تصاویر ریزساختار نمونه پودری فعال سازی مکانیکی شده به مدت یک ساعت در گرمابش با سرعت  $20^{\circ}\text{C}/\text{min}$  و در دماهای مختلف: (الف):  $600^{\circ}\text{C}$ ، (ب):  $660^{\circ}\text{C}$  و (ج):  $1300^{\circ}\text{C}$

جدول (۲): نتایج کمی آنالیز عنصری EDS برای تصاویر SEM در شکل ۱۳ مربوط به نمونه پودری فعال سازی مکانیکی شده به مدت یک ساعت در گرمابش با سرعت  $20^{\circ}\text{C}/\text{min}$

شكل	دما	شاره طیف	O at.%	Al at.%	Ni at.%
(I)، (الف)	$600^{\circ}\text{C}$	۱	.۱۹	۹۶/۸	۲/۳
(II)، (الف)	$600^{\circ}\text{C}$	۱	۰/۶۵	۱/۰۵	۹۸/۳
(II)، (الف)	$600^{\circ}\text{C}$	۲	۰/۸۵	۲۴/۸	۷۴/۳۵
(II)، (الف)	$600^{\circ}\text{C}$	۳	۴/۹	۵۰/۷۵	۳۹/۸۵
(III)، (الف)	$600^{\circ}\text{C}$	۱	۱/۱۷	۱۷/۱۲	۸۱/۷۱
(III)، (الف)	$600^{\circ}\text{C}$	۲	۲/۲۲	۵۸/۶	۳۹/۱۸
(III)، (الف)	$600^{\circ}\text{C}$	۳	۱۶/۱۴	۴۶/۱۶	۳۶/۹۱
(III)، (الف)	$600^{\circ}\text{C}$	۴	۰/۸۵	۷۶/۰	۲۵/۱۵
(I)، (ب)	$660^{\circ}\text{C}$	۱	۰/۶۵	۱/۰۵	۹۸/۳
(I)، (ب)	$660^{\circ}\text{C}$	۲	۰/۳۱	۲۳/۶۷	۷۶/۰
(I)، (ب)	$660^{\circ}\text{C}$	۳	۰/۴	۴۹/۰	۵۰/۶
(I)، (ب)	$660^{\circ}\text{C}$	۴	۶/۴۷	۵۵/۸۹	۳۷/۶۴
(II)، (ب)	$660^{\circ}\text{C}$	۱	۳۲/۱۴	۴۶/۴۶	۲۱/۴۰
(II)، (ب)	$660^{\circ}\text{C}$	۲	۲۸/۱۱	۵۰/۴۲	۲۱/۴۷
(II)، (ب)	$660^{\circ}\text{C}$	۳	۲/۲۱	۶۰/۵۴	۳۷/۲۵
(I)، (ج)	$1300^{\circ}\text{C}$	۱	۶/۲۹	۴۷/۱۶	۴۵/۷۷
(I)، (ج)	$1300^{\circ}\text{C}$	۲	۳۳/۳۷	۴۰/۴۷	۲۱/۹۴
(II)، (ج)	$1300^{\circ}\text{C}$	۱	۰/۹۹	۵۰/۲۳	۴۸/۷۹
(II)، (ج)	$1300^{\circ}\text{C}$	۲	۱۷/۲۲	۴۸/۱۳	۳۴/۶۶

می‌شوند. دانسته فازهای محصول ( $\rho_{Al2O3}=3.9\text{ gr/cm}^3$ ,  $\rho_{Ni}=8\text{ gr/cm}^3$ ), از دانسته فازهای واکنش‌دهنده ( $\rho_{NiO}=6.67\text{ gr/cm}^3$ ,  $\rho_{Al}=2.7\text{ gr/cm}^3$ ) بیشتر است، بنابراین با رخ دادن واکنش ذرات آلومینای تشکیل شده به صورت گسته و منفرد در اطراف ذرات نیکل تازه تشکیل شده قرار می‌گیرند نه به صورت یک شبکه پیوسته. حال باید آلومینیم برای رسیدن به نیکل از بین این ذرات آلومینایی منفرد بگذرد و با آن واکنش دهد و فازهای نیکل آلومینایدی ایجاد شوند.

مکانیزم دوم: فرض می‌شود آلومینیم با یک ذره نیکل اولیه در تماس است، آلومینیم ذره نیکل اولیه را از سطح خارجی مورد حمله قرار می‌دهد و فازهای بین‌فلزی به صورت لایه لایه (با ترتیب حضور فازهای غنی‌تر از آلومینیم به سمت خارج) در سطح ذره تشكیل می‌گیرند.

این دو مکانیزم برای تشكیل Ni-Al ها با یکدیگر رقابت می‌کنند. از آنجایی که در تصاویر ریزساختاری مشاهده می‌شود که دقیقاً پس از رخداد حرارتی اول (پیک اول DTA)، هم Ni-Al ها در کنار ذرات منفرد و پراکنده آلومینا و هم به صورت دیفوزیونی و لایه لایه تشكیل شده‌اند نشان می‌دهد که هر دو مکانیزم با هم رخ داده‌اند.

مرحله سوم: در این مرحله فازهای بین‌فلزی بیشتر تشكیل می‌شوند و گرما آزاد می‌کنند و رخداد حرارتی دوم مشاهده می‌گردد. آلومینیم در این مرحله کاملاً مصرف می‌شود.

بین مرحله سوم و چهارم، با افزایش دما فرآیند نفوذ پیشرفت می‌کند، آلومینیم به طور کامل در تشكیل فازهای بین‌فلزی مصرف می‌شود. از این پس تأمین کننده اتم‌های آلومینیم، فازهای نیکل آلومینایدی غنی از آلومینیم خواهند بود.



هسته نیکل اولیه با پیشرفت دیفوزیون به تدریج کوچک‌تر می‌شود. کل سیستم بین‌فلزی‌ها به سمت ترکیب تعادلی با توجه به نسبت استوکیومتری مواد اولیه یعنی تشكیل  $NiAl$  پیش می‌رود.

**۲-۳-۲- مکانیزم پیشنهادی رخداد واکنش‌ها در نمونه فعال - سازی مکانیکی شده با افزایش دما**  
با توجه به نتایج آنالیز فازی و ریزساختاری در دماهای مختلف، مکانیزم پیشنهادی برای رخداد واکنش‌ها در حین گرمایش پودر فعال‌سازی مکانیکی شده به مدت یک ساعت به صورت شماتیک در شکل ۱۴ با چهار مرحله ارائه شده است. در این تصویر شماتیک، انتخاب روشی و تیرگی رنگ فازها با توجه به تصاویر SEM-BSE انجام شده است، به عنوان مثال آلومینیم به صورت تیره‌ترین فاز نشان داده شده است.

مرحله اول: تنها مواد اولیه در سیستم وجود دارند. مرحله دوم: با افزایش دما و رخ دادن واکنش گرمایش احیای اکسید نیکل با آلومینیم، فاز آلومینا در بستری از فازهای بین‌فلزی تشكیل می‌گردد. انرژی اکتیواسیون تشكیل فازهای بین‌فلزی از ارژی آزاد شده حاصل از واکنش احیا تأمین می‌شود. در این مرحله اکسید نیکل به طور کامل مصرف می‌شود و از میزان آلومینیم آزاد کاسته می‌شود. اولین واکنش که آزاد شدن گرمای زیادی را به دنبال دارد احیای اکسید نیکل است:



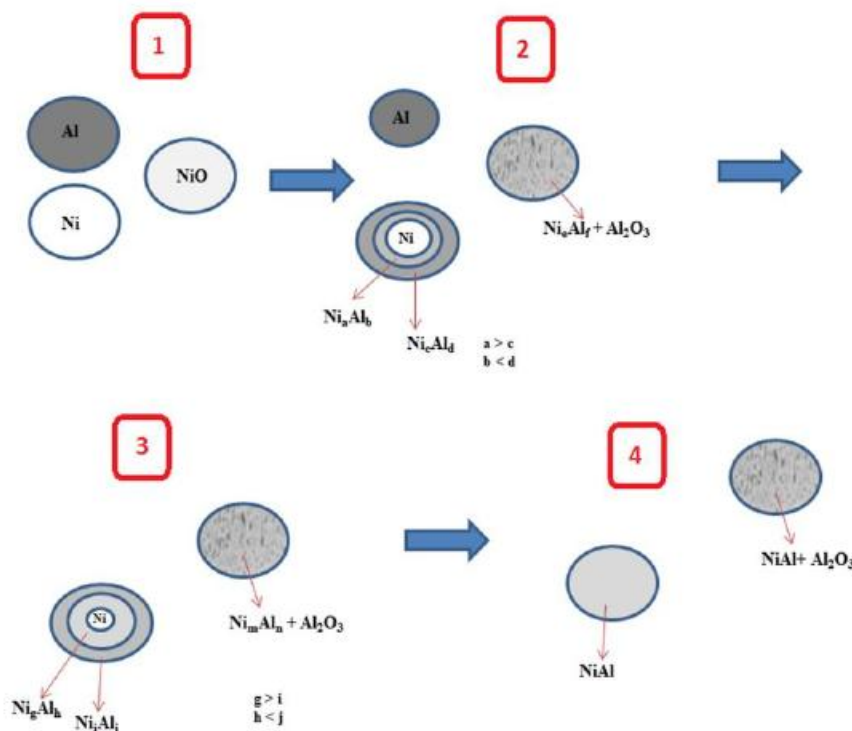
به این ترتیب، دو نوع نیکل در سیستم موجود خواهد بود: نیکل عنصری از مواد اولیه و نیکل تازه حاصل از احیای اکسید نیکل مطابق واکنش (۴). این نیکل‌ها با آلومینیم موجود در مواد اولیه مطابق واکنش‌های زیر واکنش می‌دهند و فازهای نیکل آلومینایدی را می‌سازند:



حال به نظر می‌رسد دو مکانیزم برای تشكیل فازهای Ni-Al وجود دارد. مکانیزم نخست: فرض می‌شود که یک ذره  $NiO$  در تماس با Al است، با رخ دادن واکنش احیا،  $Ni$  و  $Al_2O_3$  تشكیل

تشکیل شده دیده می شود.

مرحله چهارم: در نهایت فاز NiAl به صورت دانه های مجزا در مکان ذرات نیکل اولیه و همچنین به صورت بستر ذرات آلمینیا



شکل (۱۴): شماتیک مکانیزم واکنش ها با افزایش دما در پودر فعال سازی شده به مدت یک ساعت

گراد، فازهای مشاهده شده در سیستم  $\text{NiAl}$  و  $\text{Al}_2\text{O}_3$  بودند و سیستم به محصول تعیین شده با استوکیومتری واکنش بین مواد اولیه رسید.

-۳ در اثر فعال سازی مکانیکی و همچنین کاهش سرعت گرمایش، رخ دادن واکنش ها در دمای پایین تر رخ می دهند.

-۴ در اثر فعال سازی مکانیکی و نیز کاهش سرعت گرمایش، واکنش های احیای اکسید نیکل و تشکیل فازهای بین فلزی به صورت تفکیک شده از هم رخ می دهند.

## ۵- مراجع

- [1] P. Zhu, J. C. M. Li & C. T. Liu, "Reaction mechanism of combustion synthesis of NiAl", Materials Science and Engineering, Vol. 329-331A, pp. 57-68, 2002.

- [2] M. M. Moshksar & M. Mirzaee, "Formation of

## ۴- نتیجه گیری

در این پژوهش، تأثیر فعال سازی مکانیکی و سرعت افزایش دما (۴۰°C/min) بر رخداد واکنش ها در فرآیند سنتر کامپوزیت نانوساختار  $\text{NiAl}/\text{Al}_2\text{O}_3$  از مخلوط پودری  $\text{NiO}$  و  $\text{Al}$  در گرمایش از ۲۰ تا ۱۳۰۰°C مورد بررسی قرار گرفت. نتایج به دست آمده به شرح زیر می باشند:

۱- در اثر گرمایش نمونه پودری بدون فعال سازی، واکنش گرمگیر ذوب آلمینیم پیش از واکنش شدیداً گرمایش احیای اکسید نیکل با آلمینیم و تشکیل فازهای نیکل آلمینایدی رخ داد. در ۱۳۰۰ درجه سانتی گراد فازهای بین فلزی  $\text{Ni}_2\text{Al}_3$  در کنار فاز خالب  $\text{NiAl}$  و نیز  $\text{Al}_2\text{O}_3$  مشاهده شدند.

۲- در گرمایش پودرهای فعال سازی شده به مدت یک ساعت، واکنش احیای اکسید نیکل با آلمینیم و تشکیل فازهای نیکل آلمینایدی در حالت جامد اتفاق افتاد. در ۱۳۰۰ درجه سانتی آلمینایدی

- Vol. 16, pp. 12-17, 2007.
- [12] H. X. Zhu & R. Abbaschian, "In-situ processing of NiAl-alumina composites by thermite reaction", Materials Science and Engineering, Vol. 282A, pp. 1-7, 2000.
- [13] M. Khodaei, M. H. Enayati & F. Karimzadeh, "Mechanochemical behavior of  $\text{Fe}_2\text{O}_3$ -Al-Fe powder mixtures to produce  $\text{Fe}_3\text{Al}-\text{Al}_2\text{O}_3$  nanocomposite powder", Journal of Materials Science, Vol. 43, pp. 132-138, 2008.
- [14] S. C. Tjong & Z. Y. Ma, "Microstructural and mechanical characteristics of in situ metal matrix composites", Materials Science and Engineering, Vol. 29, pp. 49-113, 2000.
- [15] K. Morsi, "The diversity of combustion synthesis processing: a review", Journal of Materials Science, Vol. 47, pp. 68-92, 2012.
- [16] P. Mossino, "Some aspects in self-propagating high-temperature synthesis", Ceramics International, Vol. 30, pp. 311-332, 2004.
- [17] S. Z. Anvari, F. Karimzadeh & M. H. Enayati, "Synthesis and characterization of NiAl-Al<sub>2</sub>O<sub>3</sub> nanocomposite powder by mechanical alloying", Journal of Alloys and Compounds, Vol. 477, pp. 178-181, 2009.
- [18] D. Oleszak, "NiAl-Al<sub>2</sub>O<sub>3</sub> intermetallic matrix composite prepared by reactive milling and consolidation of powders", Journal of Materials Science, Vol. 39, pp. 5169 - 5174, 2004.
- [19] C. Lin, S. Hong & P. Lee, "Formation of NiAl-Al<sub>2</sub>O<sub>3</sub> intermetallic-matrix composite powders by mechanical alloying technique", Intermetallics, Vol. 8, pp. 1043-1048, 2000.
- [20] V. Udhayabhanu, K. R. Ravi, V. Vinod & B. S. Murty, "Synthesis of in-situ NiAl-Al<sub>2</sub>O<sub>3</sub> nanocomposite by reactive milling and subsequent heat treatment", Intermetallics, Vol. 18, pp. 353-358, 2010.
- [21] V. Udhayabhanu, N. Singh & B. S. Murty, "Mechanical activation of aluminothermic reduction of NiO by high energy ball milling", Journal of Alloys and Compounds, Vol. 497, pp. 142-146, 2010.
- [22] D. Padmavardhani, A. Gomez & R. Abbaschian, "Synthesis and microstructural characterization of NiAl intermetallic by gradual and explosive exothermic reaction mechanism during ball milling", Intermetallics, Vol. 12, pp. 1361-1366, 2004.
- [3] E. Liu, J. Jia, Y. Bai, W. Wang & Y. Gao, "Study on preparation and mechanical property of nanocrystalline NiAl intermetallic", Materials and Design, Vol. 53, pp. 596-601, 2014.
- [4] H. Zhao, F. Qiu, S. Jin & Q. Jiang, "High room-temperature plastic and work-hardening effect of the NiAl-matrix composites reinforced by particulates", Intermetallics, Vol. 19, pp. 376-381, 2011.
- [5] R. Ismail & I. I. Yaacob, "Fabrication of nickel aluminide intermetallic-alumina nanocomposite via reaction synthesis", Journal of Materials Processing Technology, Vol. 200, pp. 279-282, 2008.
- [6] X. Yuan, G. Liu, H. Jin & K. Che, "In situ synthesis of TiC reinforced metal matrix composite (MMC) coating by self propagating high temperature synthesis (SHS)", Journal of Alloys and Compounds, Vol. 509, pp. L301-L303, 2011.
- [7] Q. W. Wang, G. H. Fan, L. Geng, J. Zhang, X. P. Cui, J. C. Pang, S. H. Qin & Y. Du, "A novel fabrication route to microlaminated TiB<sub>2</sub>-NiAl composite sheet with (111)  $<\bar{\mu}\nu\omega>$  texture by roll bonding and annealing treatment", Intermetallics, Vol. 37, pp. 46-51, 2013.
- [8] J. Guo, D. Jiang, Z. Xing & G. Li, "Tensile properties and microstructures of NiAl-20TiB<sub>2</sub> and NiAl-20TiC in situ composites", Materials and Design, Vol. 18, pp. 357-360, 1997.
- [9] H. Erdem Camurlua & F. Maglia, "Self-propagating high-temperature synthesis of ZrB<sub>2</sub> or TiB<sub>2</sub> reinforced Ni-Al composite powder", Journal of Alloys and Compounds, Vol. 478, pp. 721-725, 2009.
- [10] H. L. Zhao, F. Qiu, S. B. Jin & Q. C. Jiang, "Compression properties and work-hardening effect of the NiAl-matrix composite with TaB<sub>2</sub> and TaB", Intermetallics, Vol. 27, pp. 1-5, 2012.
- [11] D. Tingaud, L. Stuppfer, S. Paris, D. Vrel, F. Bernard, C. Penot & F. Nardou, "Time-Resolved X-ray Diffraction Study of SHS-produced NiAl and NiAl-ZrO<sub>2</sub> Composites", International Journal of Self-Propagating High-Temperature Synthesis,

NiAl-Al<sub>2</sub>O<sub>3</sub> functionally gradient composites",  
Intermetallics, Vol. 6, pp. 229-241, 1998.

۶- پی نوشت

- [1] Mechanically induced Self-propagating Reactions (MRS)
- [2] Mechanically Activated Self-propagating High-temperature Synthesis (MASHS)